Status i PO1-PO13,
basert på rapporterte tall (til MT og Fdir),
og HI sin lakselusmodell.

Siste rapport fra anleggene var i uke 50 (11. - 17.des)
Modellresultatene er beregnet frem til fredag i uke 51

December 20, 2023

PO1

Vurdering frem til uke 51: Da den siste observasjonen ble tatt i uke 50 var temperaturen om lag som gjennomsnittet for de siste 11 år. Usikkert, få anlegg som har rapportert. Antall produserte luselarver (summert over alle anlegg som rapporterer i PO1) ligger om lag som i 2022.

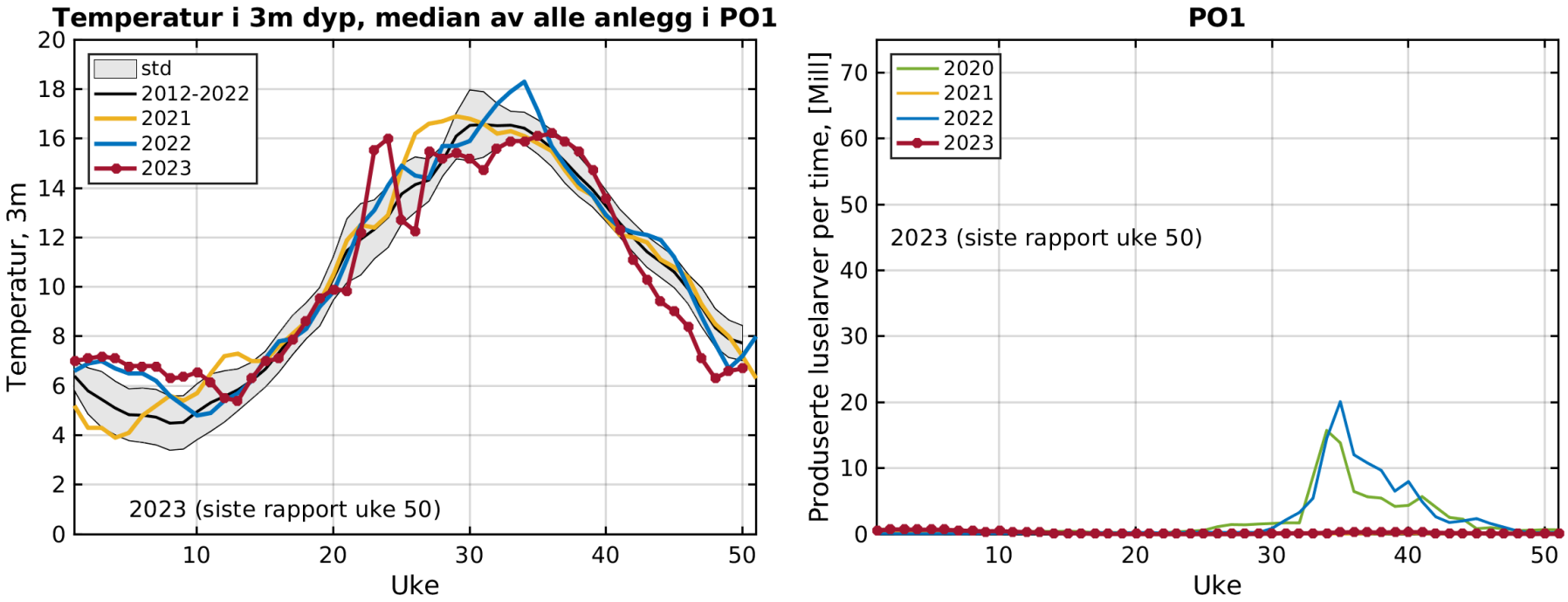

VENSTRE: Observert temperatur i 3m dyp. Sort linje viser middelverdien (2012 - 2022), og skravert felt viser pluss/minus et standardavvik.
HØYRE: Beregnet (Stien mfl 2005) utslipp av luselarver (summert over alle anlegg som rapporterer i PO01).

Støttefigurer:
Sammen med vanntemperatur inngår antall fisk og antall voksne holus per fisk i formelen som benyttes til å estimere antall produserte luselarver på forrige side (Stien mfl 2005)

$$N_{naup} = N_{fish} \cdot N_{female} \cdot 0.17 \cdot (T + 4.28)^2,$$

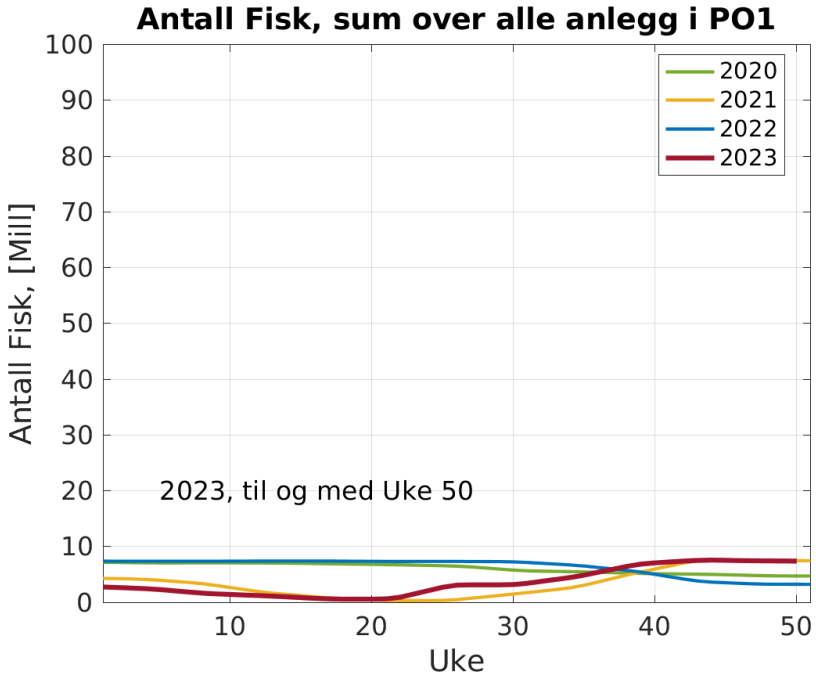

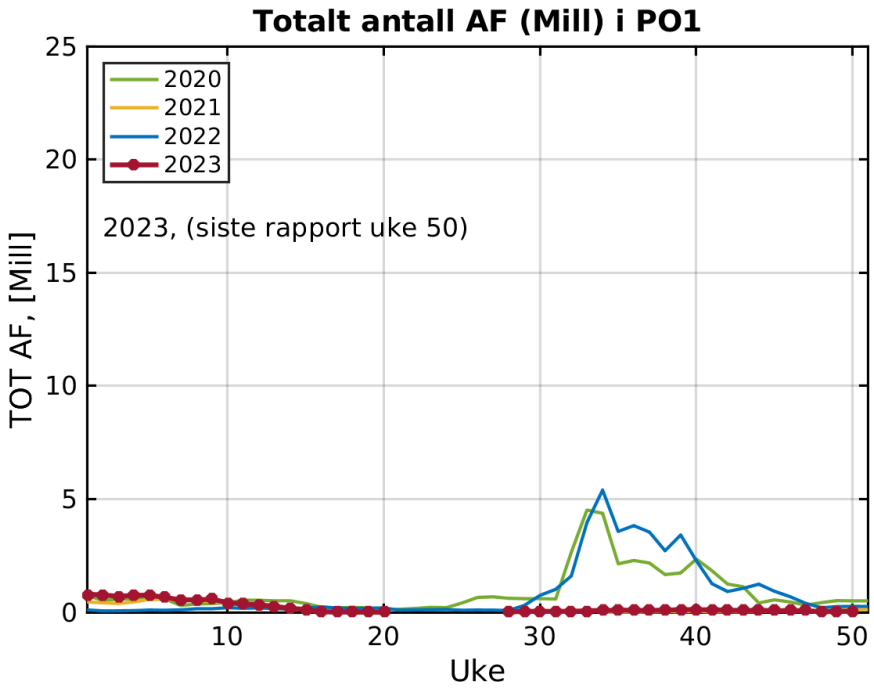

VENSTRE: Antall fisk (laks + regnbueørret) summert over alle anlegg i P001.
HØYRE: Totalt antall voksne holus i PO01(antall fisk * antall holus per fisk).

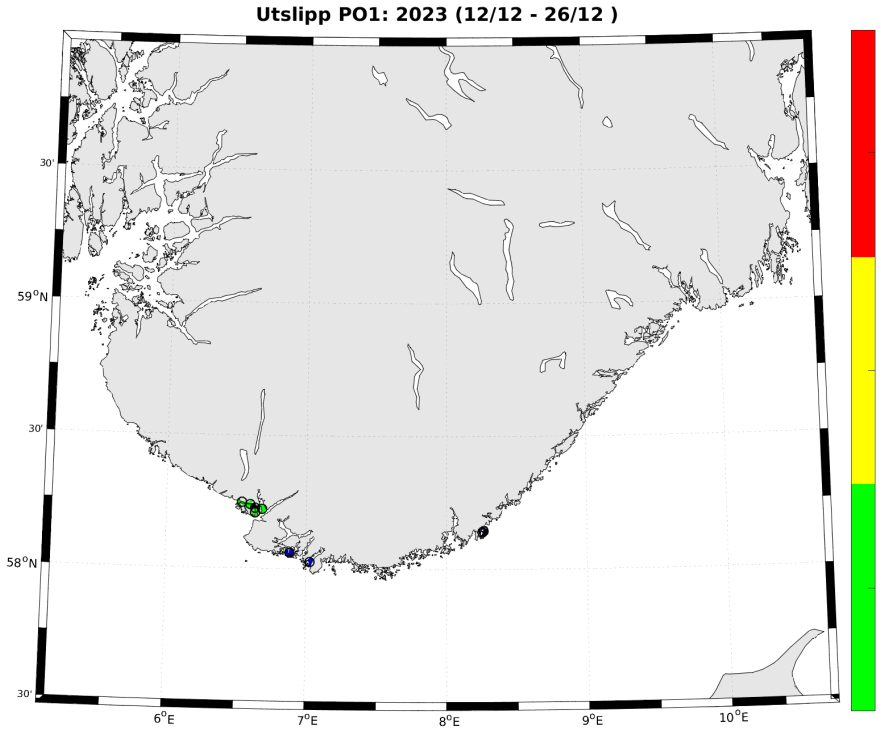

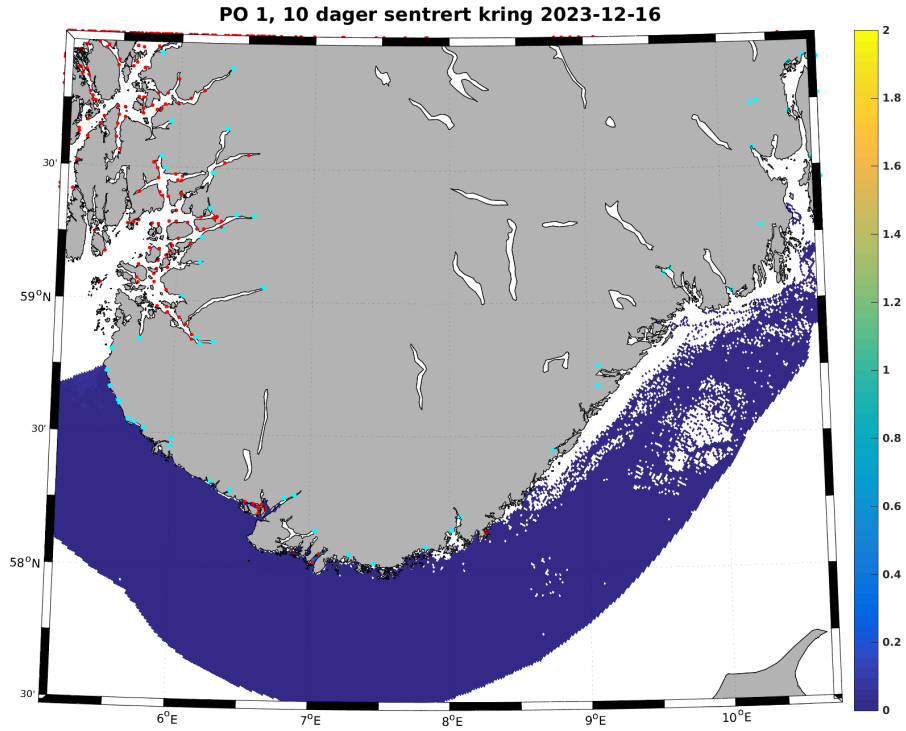

VENSTRE: Beregnet (Stien mfl 2005) utslipp av luselarver (millioner klekte egg per time) per anlegg, uke 50 → Blå anlegg har rapportert null lus. Sorte anlegg har enten ikke rapportert, eller blitt brakklagt ila 2023. Anlegg uten rapporteringer i 2023 er ikke tatt med. Fargeskalaen er relativ, og viser bare innbyrdes variasjon!
HØYRE: Tetthet av smittsomme lakseluslarver (per kvadratmeter), beregnet med Havforskningsinstituttet sin lakselusmodell.

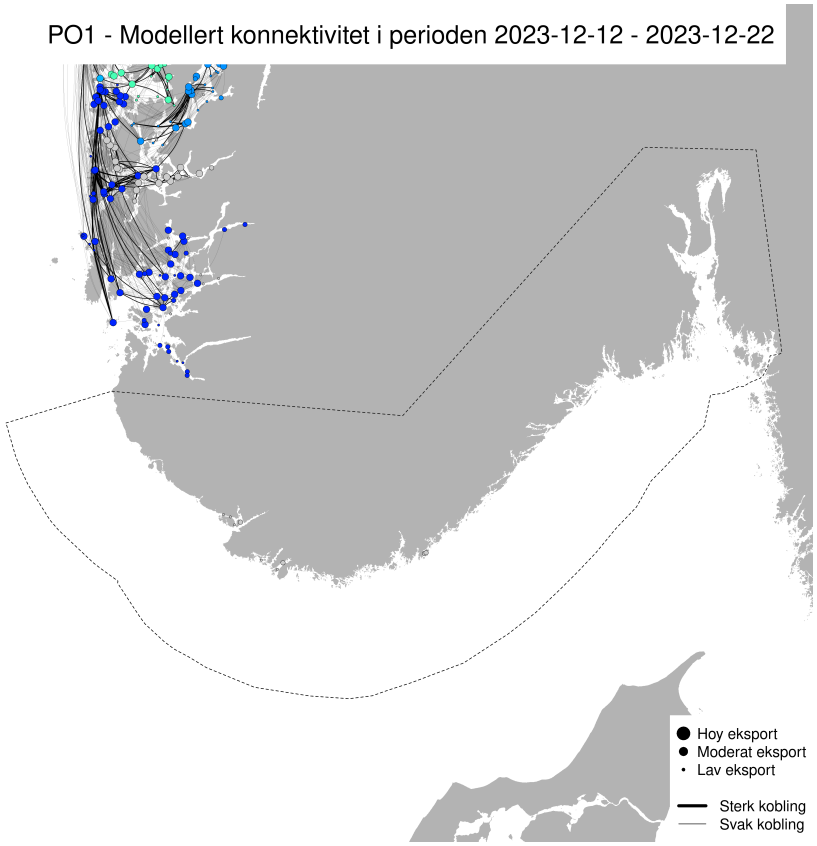

VENSTRE: Smitte av lakselus-kopepoditter mellom lokaliteter. Fargene viser hvilke lokaliteter som blir definert til å ligge i samme smitte-nettverk (klynge) i den gjeldende perioden. Størrelsen på sirklene er rangert etter samlet eksport fra lokaliteten (store sirkler = stor eksport), basert på landsdekkende estimater for den gjeldende perioden. Tykke linjer (koblinger) viser stor transport og tynne linjer viser lavere transport. Merk at de minste koblingene er utelatt for å gjøre figuren mer lesbar. Linjer som krummer med klokken viser eksport fra en lokalitet og linjer som krummer mot klokken viser import.

Metoden for å identifisere smitte-nettverkene er beskrevet i M.B.O Huserbråten, I.A. Johnsen, Seasonal temperature regulates network connectivity of salmon louse, ICES Journal of Marine Science, 2022;, fsac024. LENKE https://doi.org/10.1093/icesjms/fsac024 Se også nyhetssak fra HI.

PO2

Vurdering frem til uke 51: Da den siste observasjonen ble tatt i uke 50 var temperaturen under gjennomsnittet for de siste 11 år.
Antall produserte luselarver (summert over alle anlegg som rapporterer i PO02) ligger i uke 50 om lag på samme nivå som i 2022.
Resultat fra lakselusmodellen viser en geografisk fordeling som varierer mellom år.

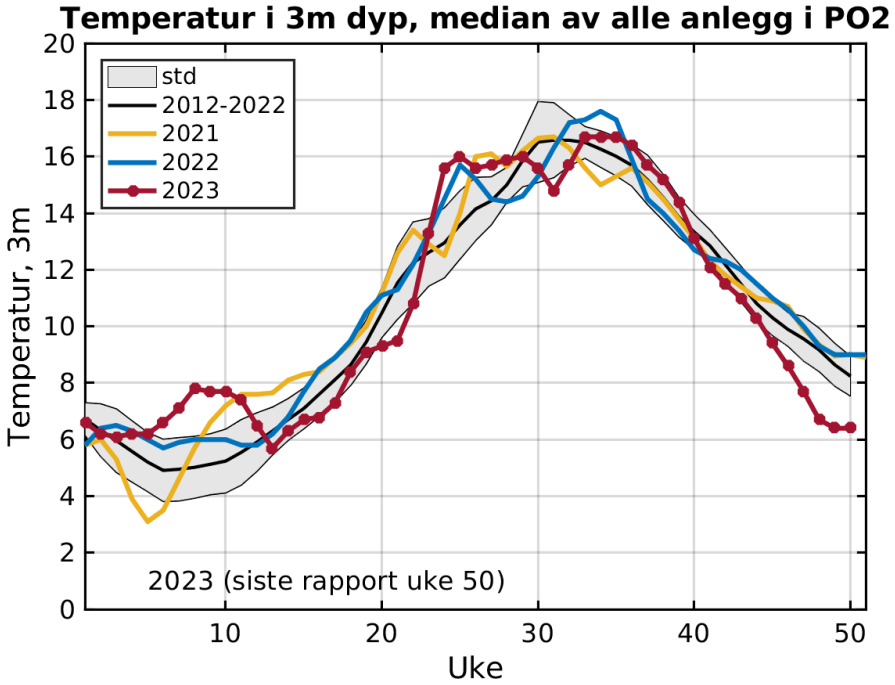

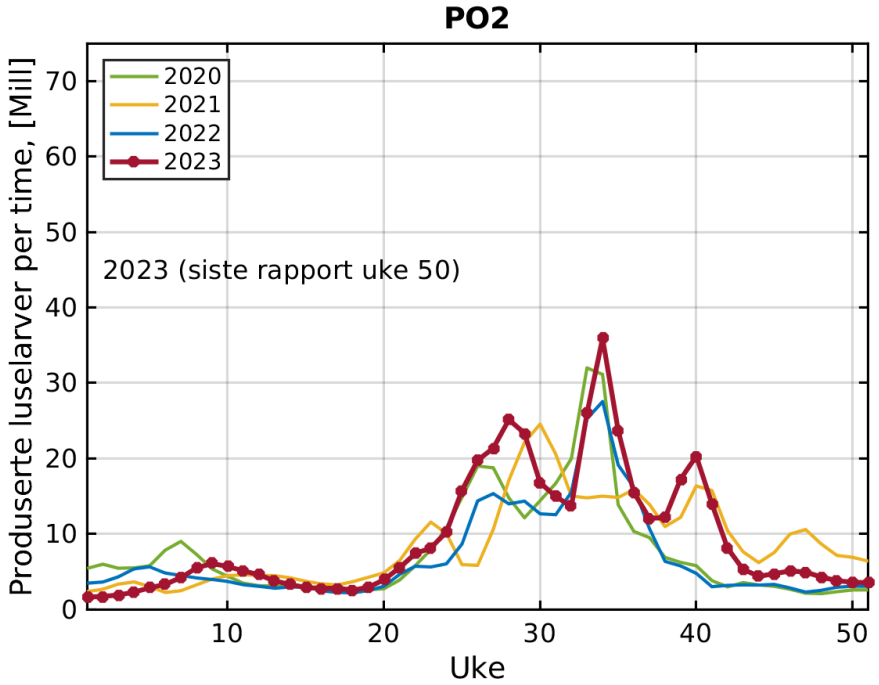

VENSTRE: Observert temperatur i 3m dyp. Sort linje viser middelverdien (2012 - 2022), og skravert felt viser pluss/minus et standardavvik.
HØYRE: Beregnet (Stien mfl 2005) utslipp av luselarver (summert over alle anlegg som rapporterer i PO02) Det er ofte noen etternølere som rapporterer en uke eller to etter fristen. Derfor kan grafene se lit annerledes ut enn i forrige uke.

Støttefigurer:
Sammen med vanntemperatur inngår antall fisk og antall voksne holus per fisk i formelen som benyttes til å estimere antall luselarver på forrige side (Stien mfl 2005)

$$N_{naup} = N_{fish} \cdot N_{female} \cdot 0.17 \cdot (T + 4.28)^2,$$

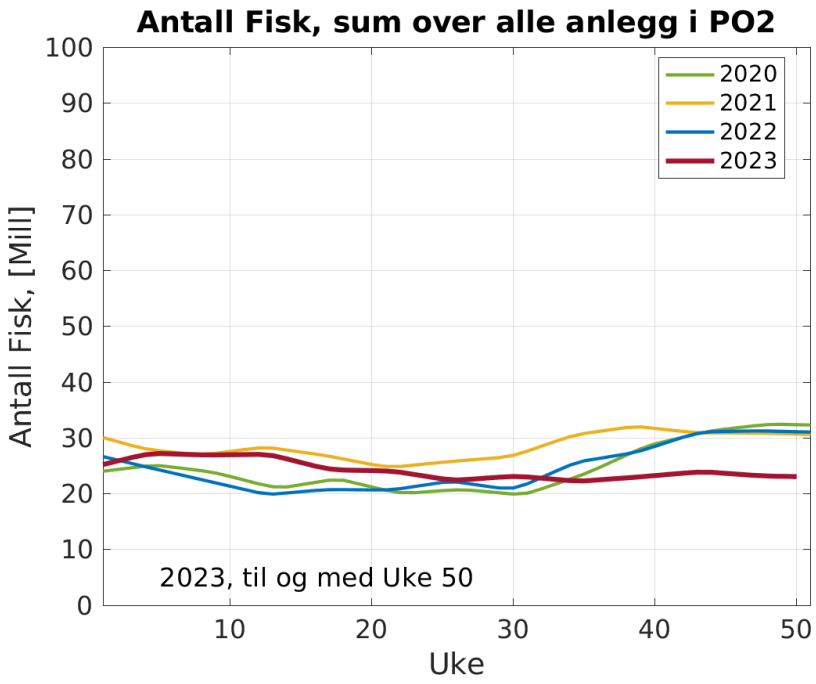

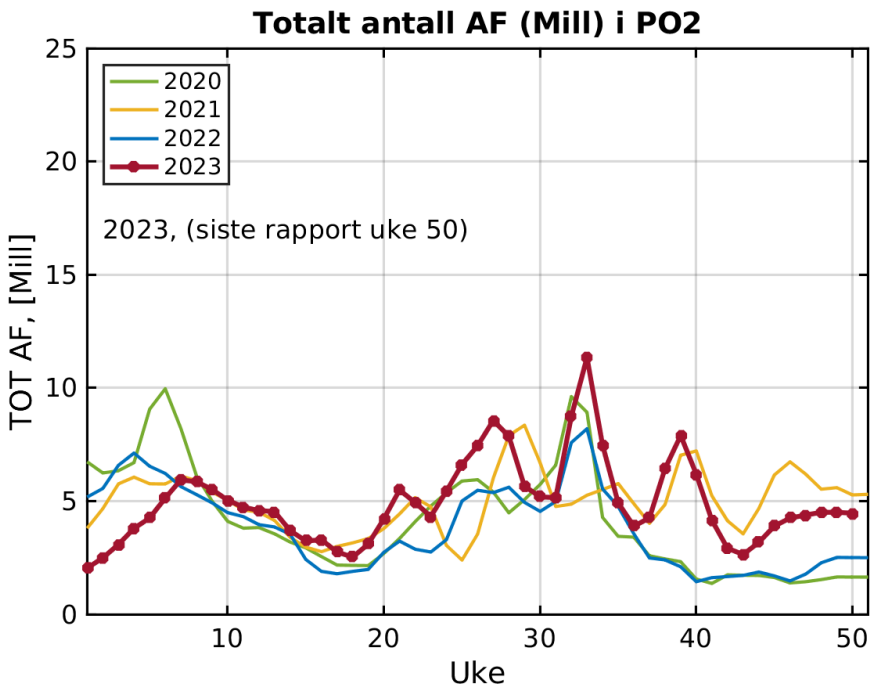

VENSTRE: Antall fisk (laks + regnbueørret) summert over alle anlegg i P002.
HØYRE: Totalt antall voksne holus i PO02(antall fisk * antall holus per fisk).

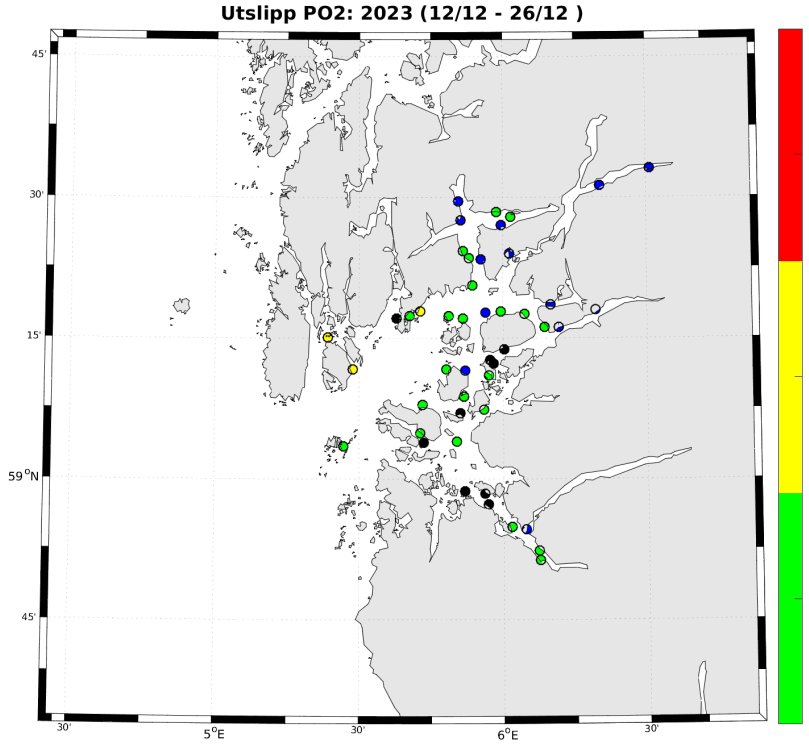

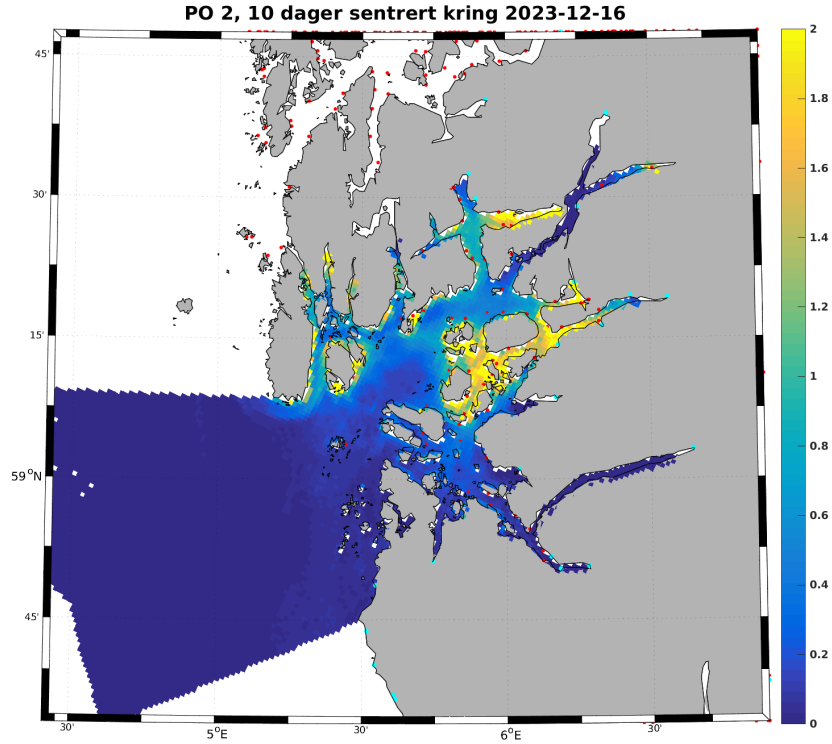

VENSTRE: Beregnet (Stien mfl 2005) utslipp av luselarver (millioner klekte egg per time) per anlegg, uke 50 → Blå anlegg har rapportert null lus. Sorte anlegg har enten ikke rapportert, eller blitt brakklagt ila 2023. Anlegg uten rapporteringer i 2023 er ikke tatt med. Fargeskalaen er relativ, og viser bare innbyrdes variasjon!
HØYRE: Tetthet av smittsomme lakseluslarver (per kvadratmeter), beregnet med Havforskningsinstituttet sin lakselusmodell.

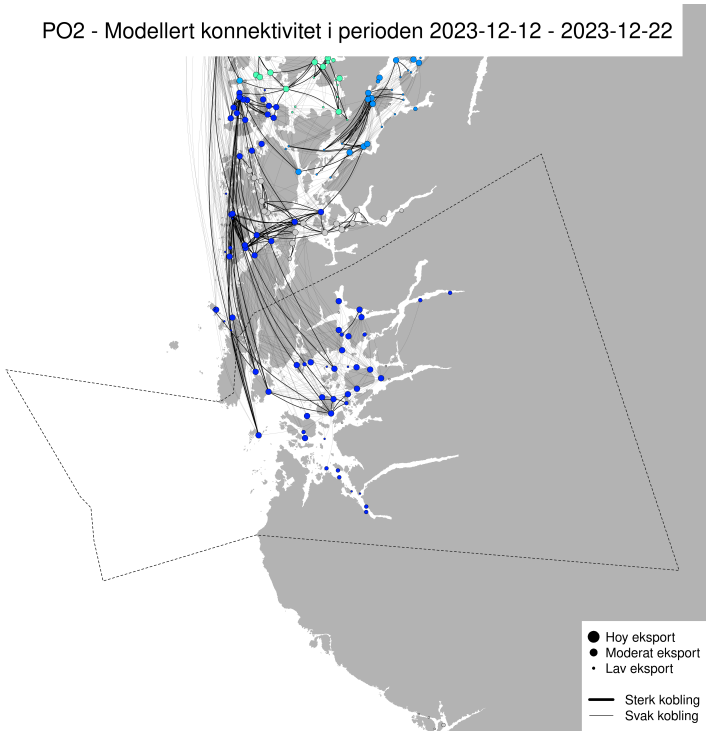

VENSTRE: Smitte av lakselus-kopepoditter mellom lokaliteter.
Fargene viser hvilke lokaliteter som blir definert til å ligge i samme smitte-nettverk (klynge) i den gjeldende perioden. Størrelsen på sirklene er rangert etter samlet eksport fra lokaliteten (store sirkler = stor eksport), basert på landsdekkende estimater for den gjeldende perioden. Tykke linjer (koblinger) viser stor transport og tynne linjer viser lavere transport. Merk at de minste koblingene er utelatt for å gjøre figuren mer lesbar. Linjer som krummer med klokken viser eksport fra en lokalitet og linjer som krummer mot klokken viser import.

Metoden for å identifisere smitte-nettverkene er beskrevet i M.B.O Huserbråten, I.A. Johnsen, Seasonal temperature regulates network connectivity of salmon louse, ICES Journal of Marine Science, 2022;, fsac024. LENKE https://doi.org/10.1093/icesjms/fsac024
Se også nyhetssak fra HI.

PO3

Vurdering frem til uke 51: Da den siste observasjonen ble tatt i uke 50 var temperaturen litt under gjennomsnittet for de siste 11 år.
Antall produserte luselarver (summert over alle anlegg som rapporterer i PO03) ligger i uke 50 om lag på samme nivå som i 2022.

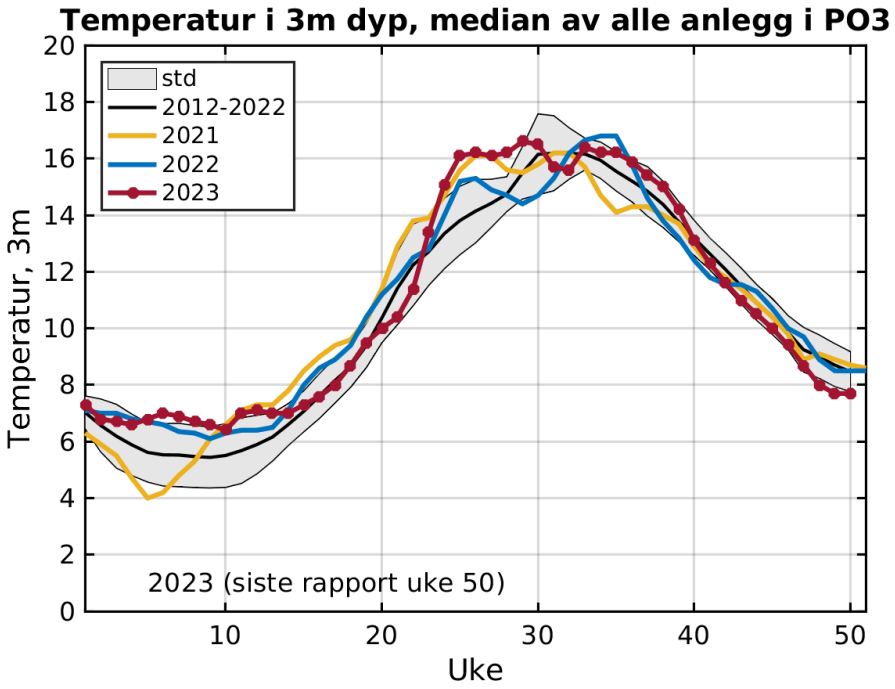

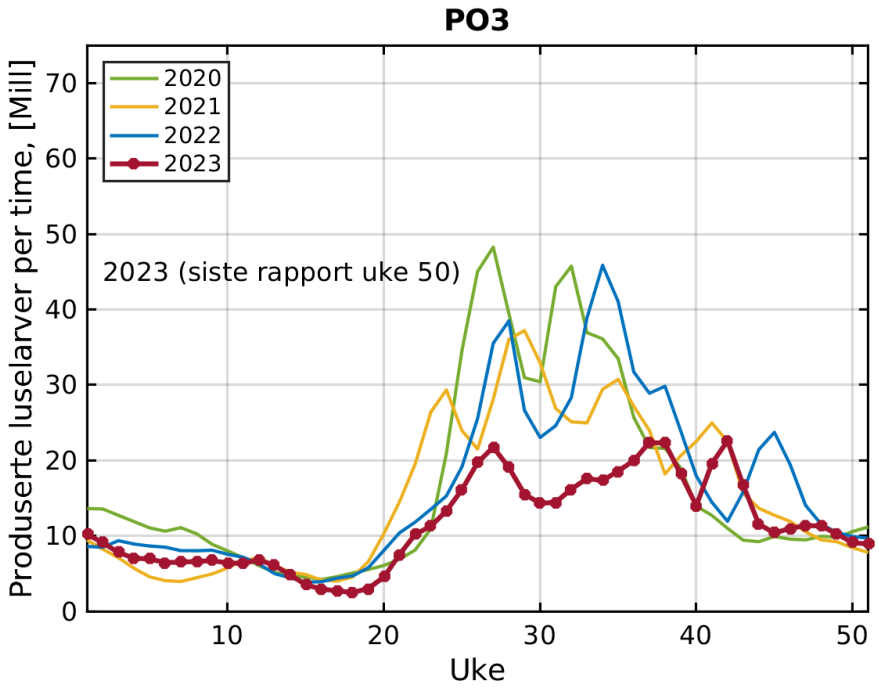

VENSTRE: Observert temperatur i 3m dyp. Sort linje viser middelverdien (2012 - 2022), og skravert felt viser pluss/minus et standardavvik.
HØYRE: Beregnet (Stien mfl 2005) utslipp av luselarver (summert over alle anlegg som rapporterer i PO03) Det er ofte noen etternølere som rapporterer en uke eller to etter fristen. Derfor kan grafene se litt annerledes ut enn i forrige uke.

Støttefigurer:
Sammen med vanntemperatur inngår antall fisk og antall voksne holus per fisk i formelen som benyttes til å estimere antall luselarver på forrige side (Stien mfl 2005)

$$N_{naup} = N_{fish} \cdot N_{female} \cdot 0.17 \cdot (T + 4.28)^2,$$

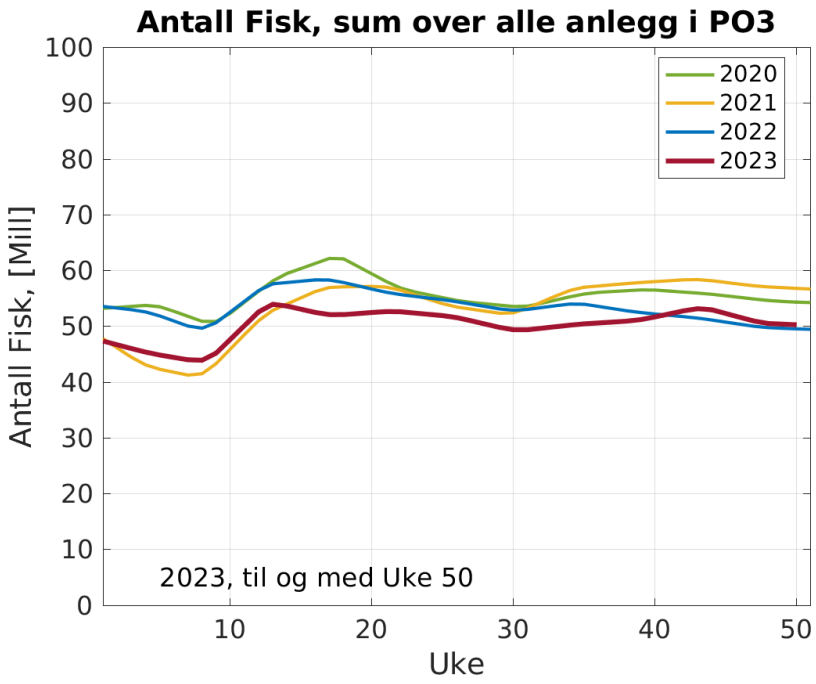

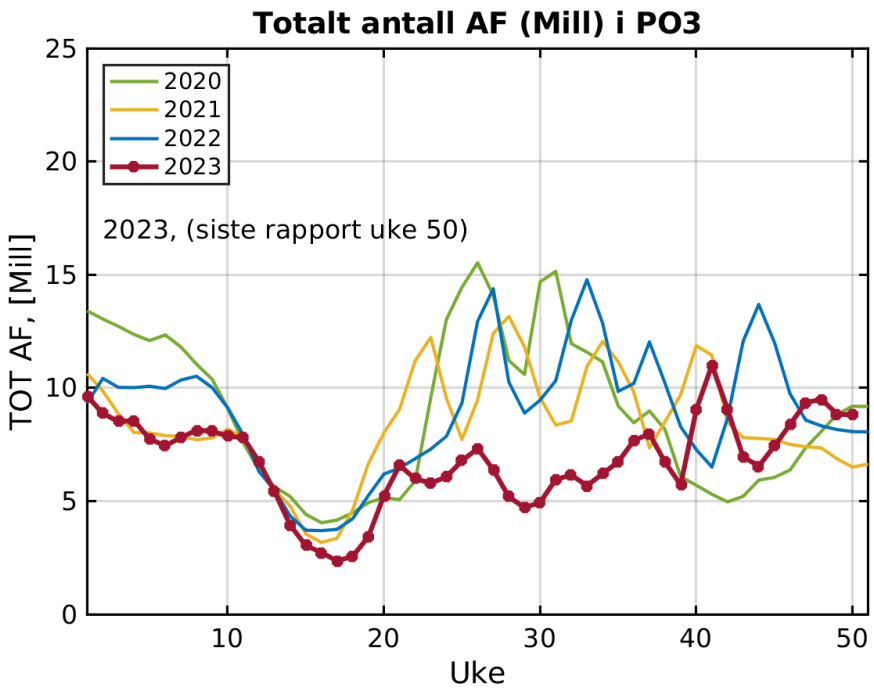

VENSTRE: Antall fisk (laks + regnbueørret) summert over alle anlegg i P003.
HØYRE: Totalt antall voksne holus i PO03(antall fisk * antall holus per fisk).

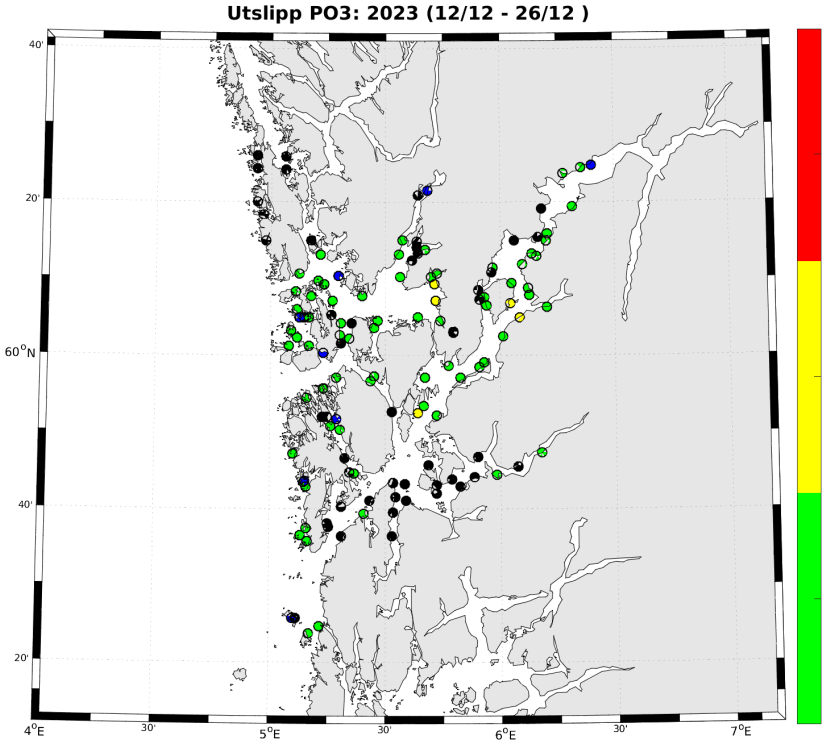

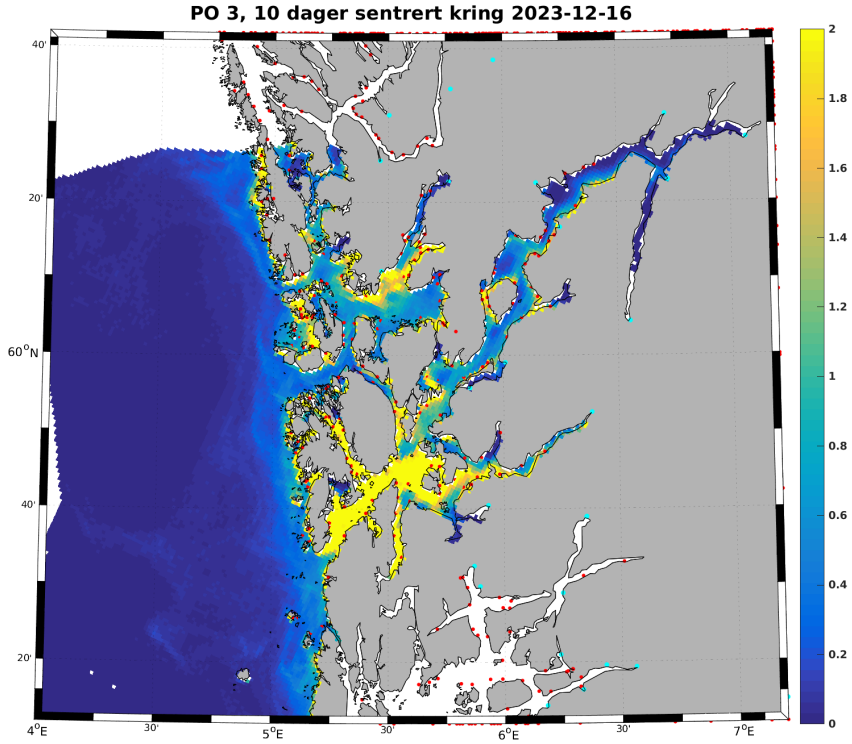

VENSTRE: Beregnet (Stien mfl 2005) utslipp av luselarver (millioner klekte egg per time) per anlegg, uke 50 → Blå anlegg har rapportert null lus. Sorte anlegg har enten ikke rapportert, eller blitt brakklagt ila 2023. Anlegg uten rapporteringer i 2023 er ikke tatt med. Fargeskalaen er relativ, og viser bare innbyrdes variasjon!
HØYRE: Tetthet av smittsomme lakseluslarver (per kvadratmeter), beregnet med Havforskningsinstituttet sin lakselusmodell.

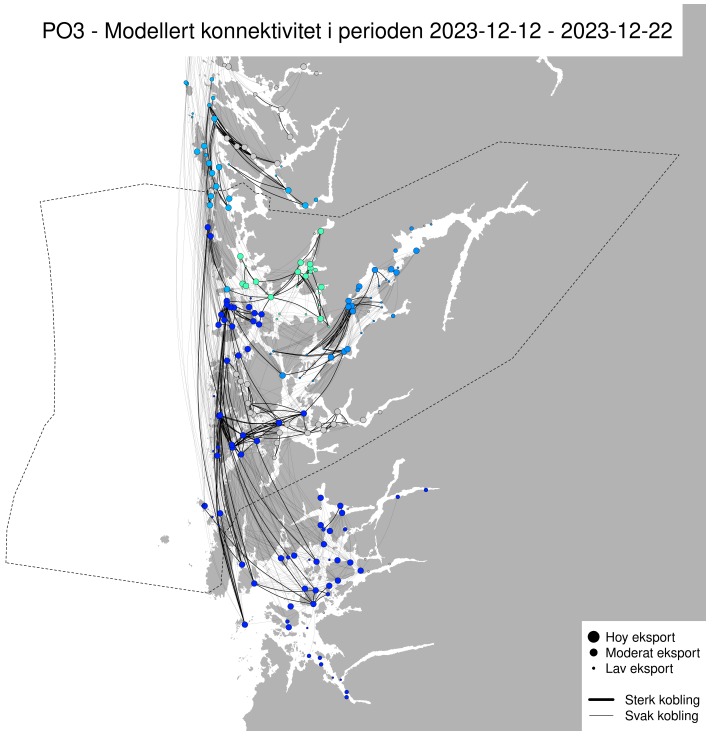

VENSTRE: Smitte av lakselus-kopepoditter mellom lokaliteter.
Fargene viser hvilke lokaliteter som blir definert til å ligge i samme smitte-nettverk (klynge) i den gjeldende perioden. Størrelsen på sirklene er rangert etter samlet eksport fra lokaliteten (store sirkler = stor eksport), basert på landsdekkende estimater for den gjeldende perioden. Tykke linjer (koblinger) viser stor transport og tynne linjer viser lavere transport. Merk at de minste koblingene er utelatt for å gjøre figuren mer lesbar. Linjer som krummer med klokken viser eksport fra en lokalitet og linjer som krummer mot klokken viser import.

Metoden for å identifisere smitte-nettverkene er beskrevet i M.B.O Huserbråten, I.A. Johnsen, Seasonal temperature regulates network connectivity of salmon louse, ICES Journal of Marine Science, 2022;, fsac024. LENKE https://doi.org/10.1093/icesjms/fsac024
Se også nyhetssak fra HI.

PO4

Vurdering frem til uke 51: Da den siste observasjonen ble tatt i uke 50 var temperaturen om lag som gjennomsnittet for de siste 11 år.
Antall produserte luselarver (summert over alle anlegg som rapporterer i PO4) ligger litt over nivået som var i 2022.

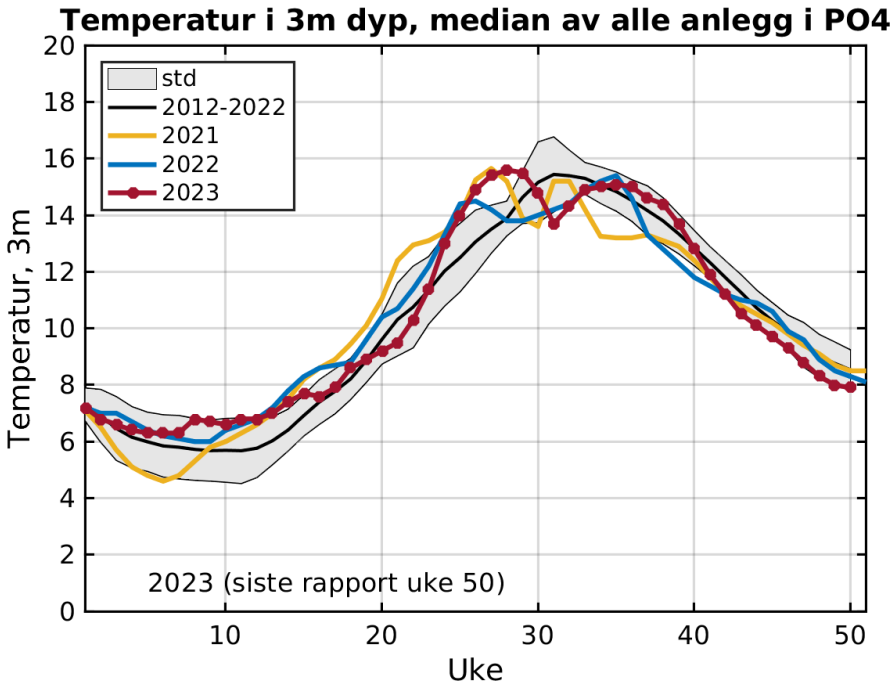

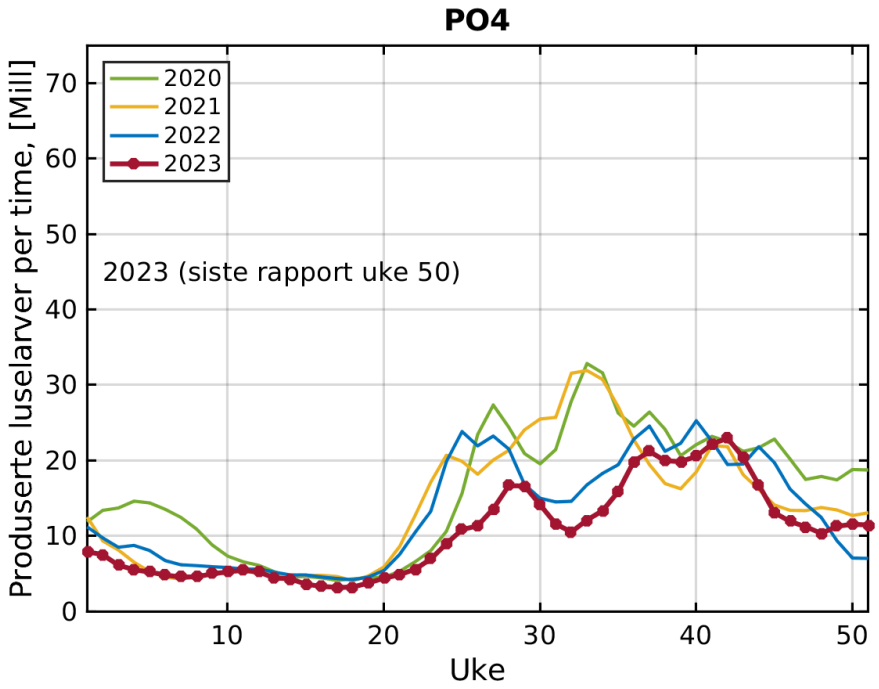

VENSTRE: Observert temperatur i 3m dyp. Sort linje viser middelverdien (2012 - 2022), og skravert felt viser pluss/minus et standardavvik.
HØYRE: Beregnet (Stien mfl 2005) utslipp av luselarver (summert over alle anlegg som rapporterer i PO4) Det er ofte noen etternølere som rapporterer en uke eller to etter fristen. Derfor kan grafene se litt annerledes ut enn i forrige uke.

Støttefigurer:
Sammen med vanntemperatur inngår antall fisk og antall voksne holus per fisk i formelen som benyttes til å estimere antall luselarver på forrige side (Stien mfl 2005)

$$N_{naup} = N_{fish} \cdot N_{female} \cdot 0.17 \cdot (T + 4.28)^2,$$

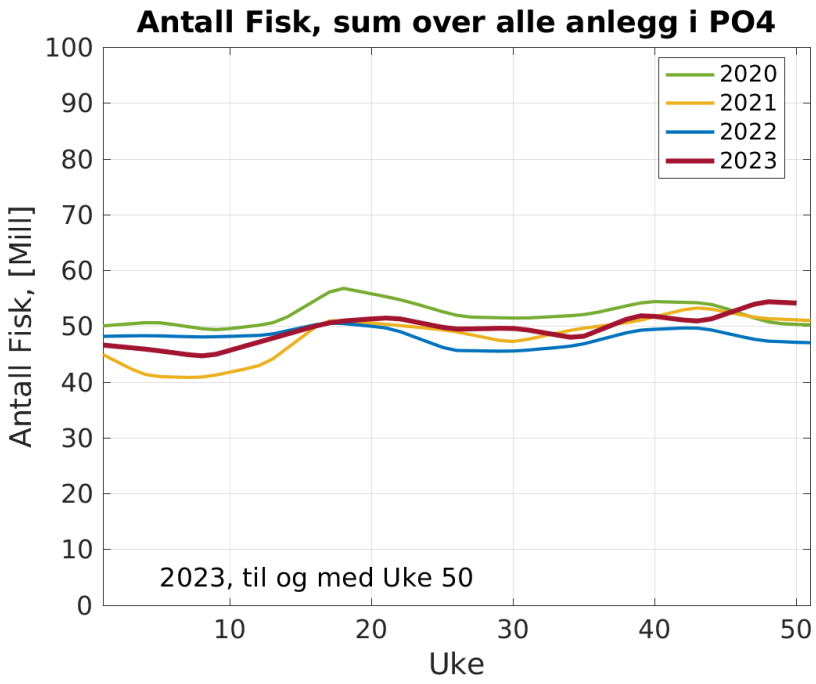

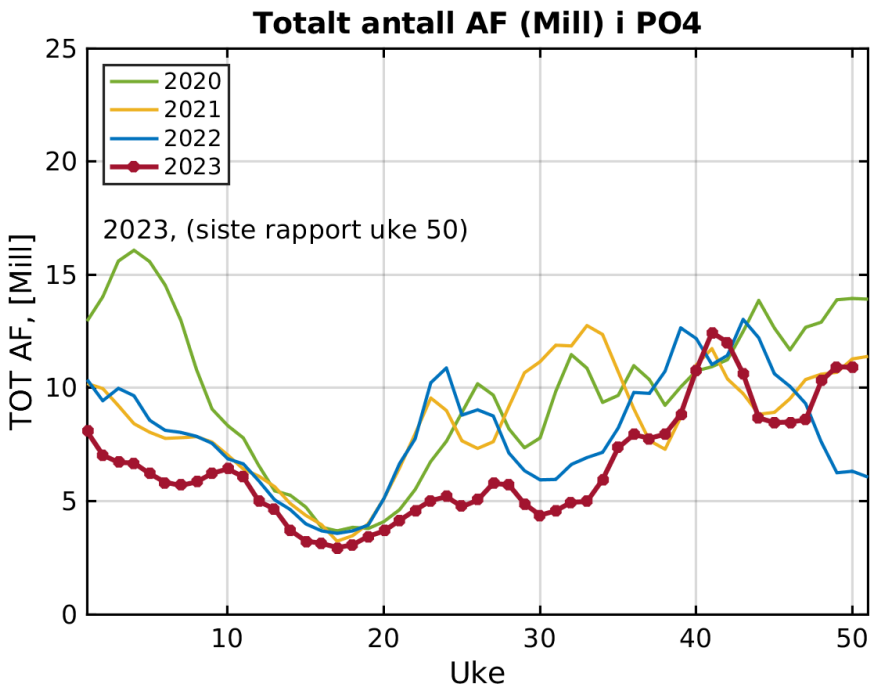

VENSTRE: Antall fisk (laks + regnbueørret) summert over alle anlegg i P004.
HØYRE: Totalt antall voksne holus i PO04(antall fisk * antall holus per fisk).

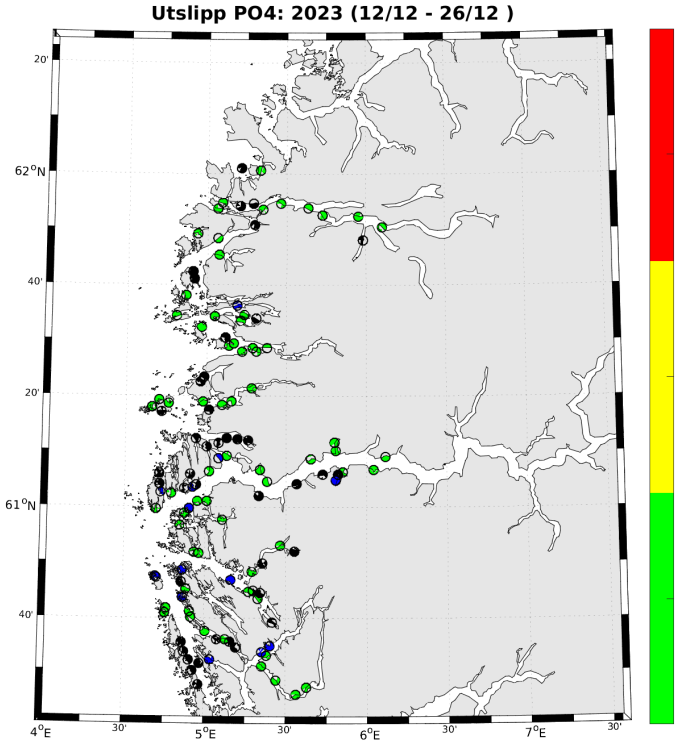

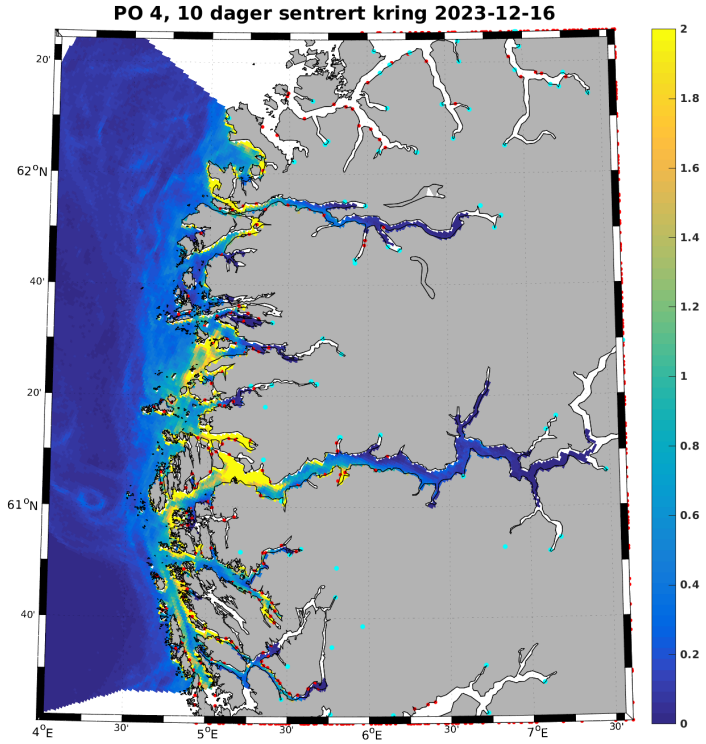

VENSTRE: Beregnet (Stien mfl 2005) utslipp av luselarver (millioner klekte egg per time) per anlegg, uke 50 → Blå anlegg har rapportert null lus. Sorte anlegg har enten ikke rapportert, eller blitt brakklagt ila 2023. Anlegg uten rapporteringer i 2023 er ikke tatt med. Fargeskalaen er relativ, og viser bare innbyrdes variasjon!
HØYRE: Tetthet av smittsomme lakseluslarver (per kvadratmeter), beregnet med Havforskningsinstituttet sin lakselusmodell. HØYRE:

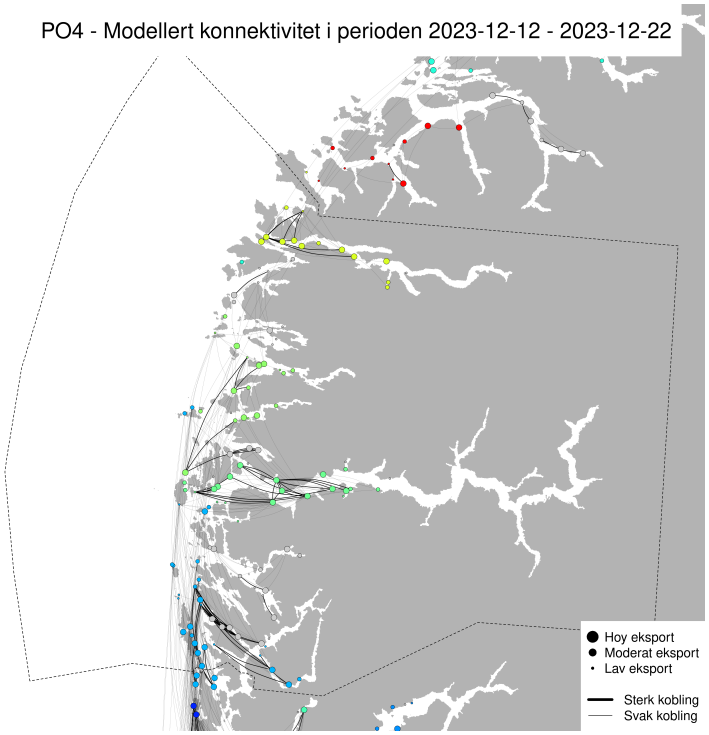

VENSTRE: Smitte av lakselus-kopepoditter mellom lokaliteter.
Fargene viser hvilke lokaliteter som blir definert til å ligge i samme smitte-nettverk (klynge) i den gjeldende perioden. Størrelsen på sirklene er rangert etter samlet eksport fra lokaliteten (store sirkler = stor eksport), basert på landsdekkende estimater for den gjeldende perioden. Tykke linjer (koblinger) viser stor transport og tynne linjer viser lavere transport. Merk at de minste koblingene er utelatt for å gjøre figuren mer lesbar. Linjer som krummer med klokken viser eksport fra en lokalitet og linjer som krummer mot klokken viser import.

Metoden for å identifisere smitte-nettverkene er beskrevet i M.B.O Huserbråten, I.A. Johnsen, Seasonal temperature regulates network connectivity of salmon louse, ICES Journal of Marine Science, 2022;, fsac024. LENKE https://doi.org/10.1093/icesjms/fsac024
Se også nyhetssak fra HI.

PO5

Vurdering frem til uke 51: Da den siste observasjonen ble tatt i uke 50 var temperaturen om lag som gjennomsnittet for de siste 11 år.
Antall produserte luselarver (summert over alle anlegg som rapporterer i PO5) ligger om lag som i 2022.

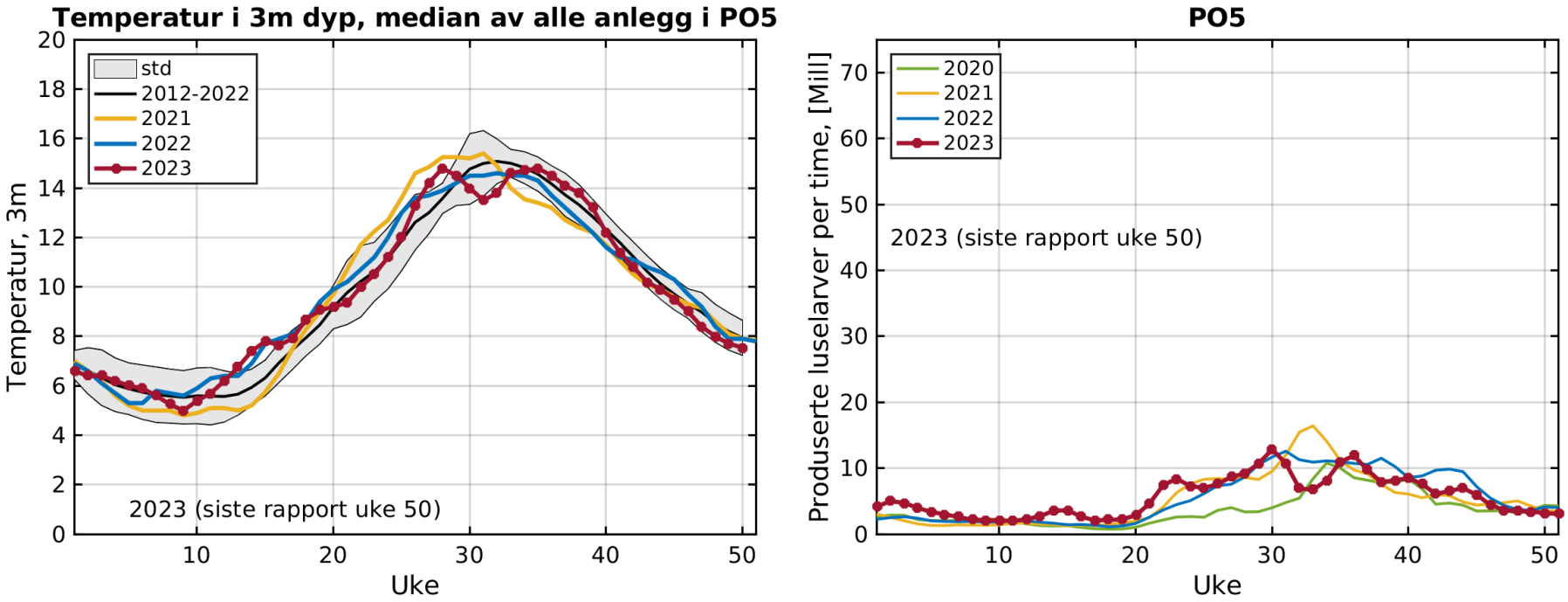

VENSTRE: Observert temperatur i 3m dyp. Sort linje viser middelverdien (2012 - 2022), og skravert felt viser pluss/minus et standardavvik.
HØYRE: Beregnet (Stien mfl 2005) utslipp av luselarver (summert over alle anlegg som rapporterer i PO5) Det er ofte noen etternølere som rapporterer en uke eller to etter fristen. Derfor kan grafene se litt annerledes ut enn i forrige uke.

Støttefigurer:
Sammen med vanntemperatur inngår antall fisk og antall voksne holus per fisk i formelen som benyttes til å estimere antall luselarver på forrige side (Stien mfl 2005)

$$N_{naup} = N_{fish} \cdot N_{female} \cdot 0.17 \cdot (T + 4.28)^2,$$

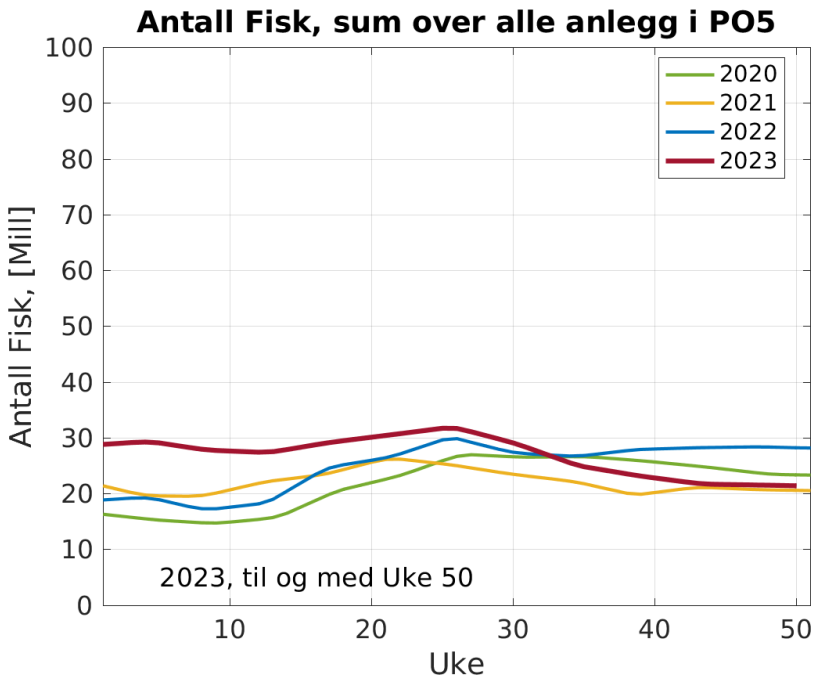

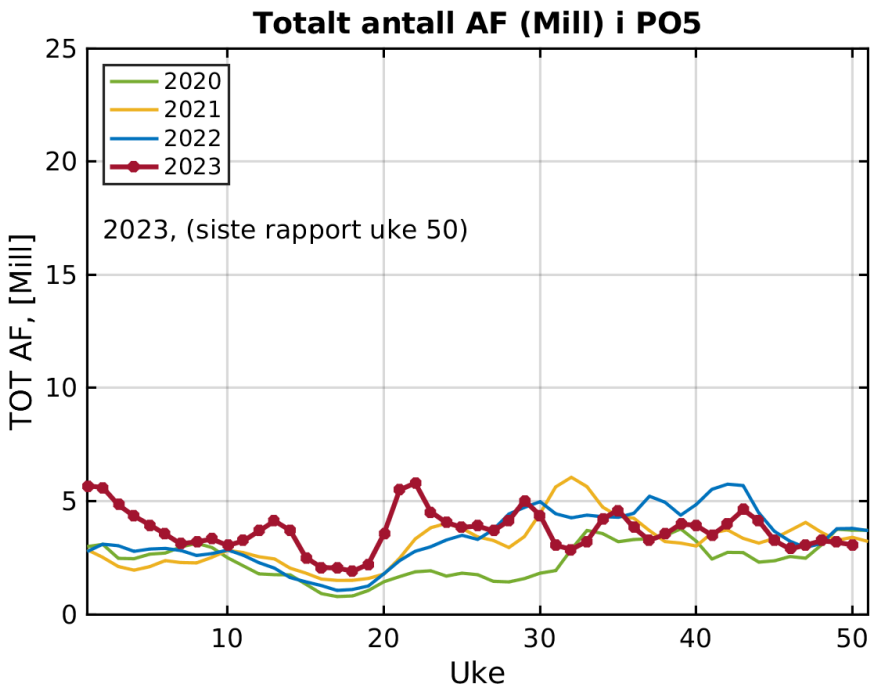

VENSTRE: Antall fisk (laks + regnbueørret) summert over alle anlegg i P005.
HØYRE: Totalt antall voksne holus i PO05(antall fisk * antall holus per fisk).

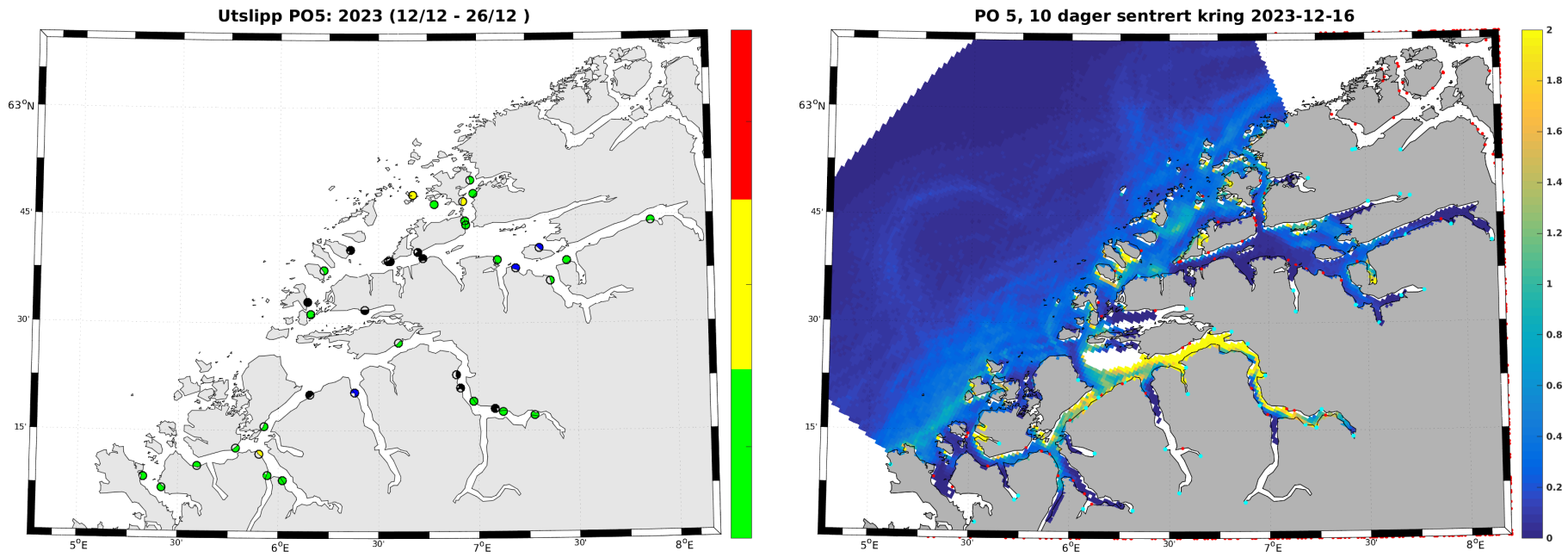

VENSTRE: Beregnet (Stien mfl 2005) utslipp av luselarver (millioner klekte egg per time) per anlegg, uke 50 → Blå anlegg har rapportert null lus. Sorte anlegg har enten ikke rapportert, eller blitt brakklagt ila 2023. Anlegg uten rapporteringer i 2023 er ikke tatt med. Fargeskalaen er relativ, og viser bare innbyrdes variasjon!
HØYRE: Tetthet av smittsomme lakseluslarver (per kvadratmeter), beregnet med Havforskningsinstituttet sin lakselusmodell.

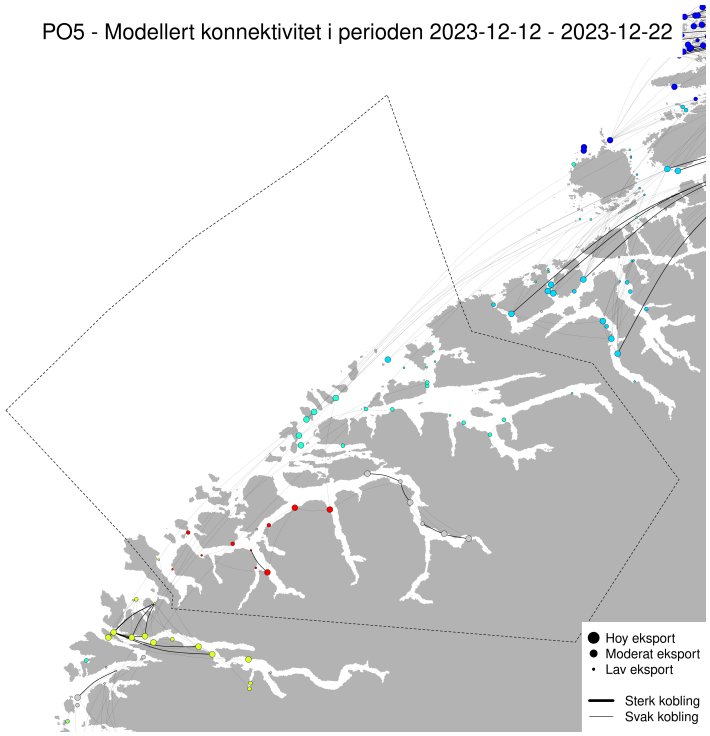

VENSTRE: Smitte av lakselus-kopepoditter mellom lokaliteter.
Fargene viser hvilke lokaliteter som blir definert til å ligge i samme smitte-nettverk (klynge) i den gjeldende perioden. Størrelsen på sirklene er rangert etter samlet eksport fra lokaliteten (store sirkler = stor eksport), basert på landsdekkende estimater for den gjeldende perioden. Tykke linjer (koblinger) viser stor transport og tynne linjer viser lavere transport. Merk at de minste koblingene er utelatt for å gjøre figuren mer lesbar. Linjer som krummer med klokken viser eksport fra en lokalitet og linjer som krummer mot klokken viser import.

Metoden for å identifisere smitte-nettverkene er beskrevet i M.B.O Huserbråten, I.A. Johnsen, Seasonal temperature regulates network connectivity of salmon louse, ICES Journal of Marine Science, 2022;, fsac024. LENKE https://doi.org/10.1093/icesjms/fsac024
Se også nyhetssak fra HI.

PO6

Vurdering frem til uke 51: Vanntemperaturen ligger om lag som gjennomsnittet for de siste 11 år.
Antall produserte luselarver (summert over alle anlegg som rapporterer i PO6) ligger under nivået som var i 2022.

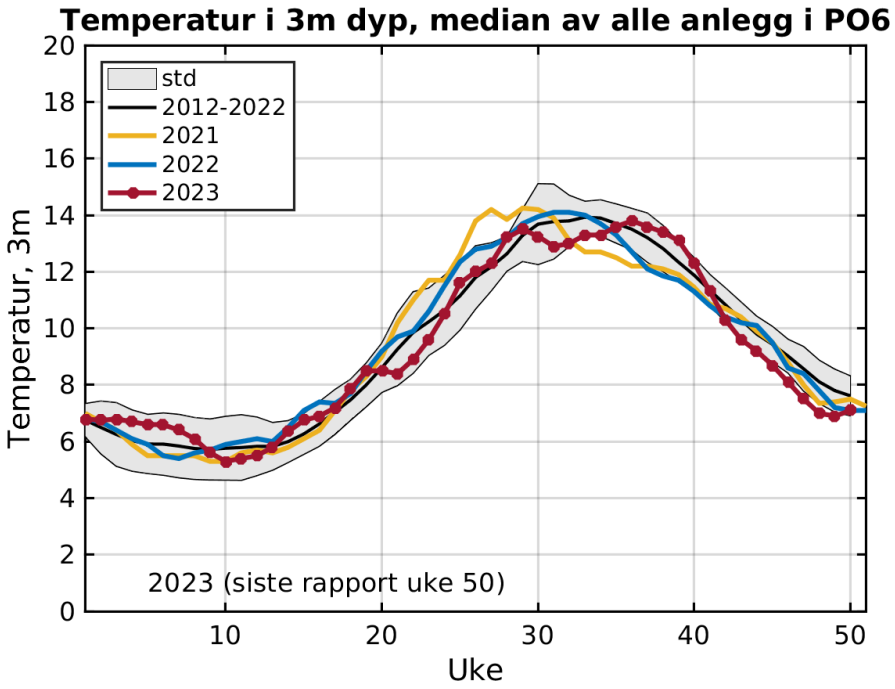

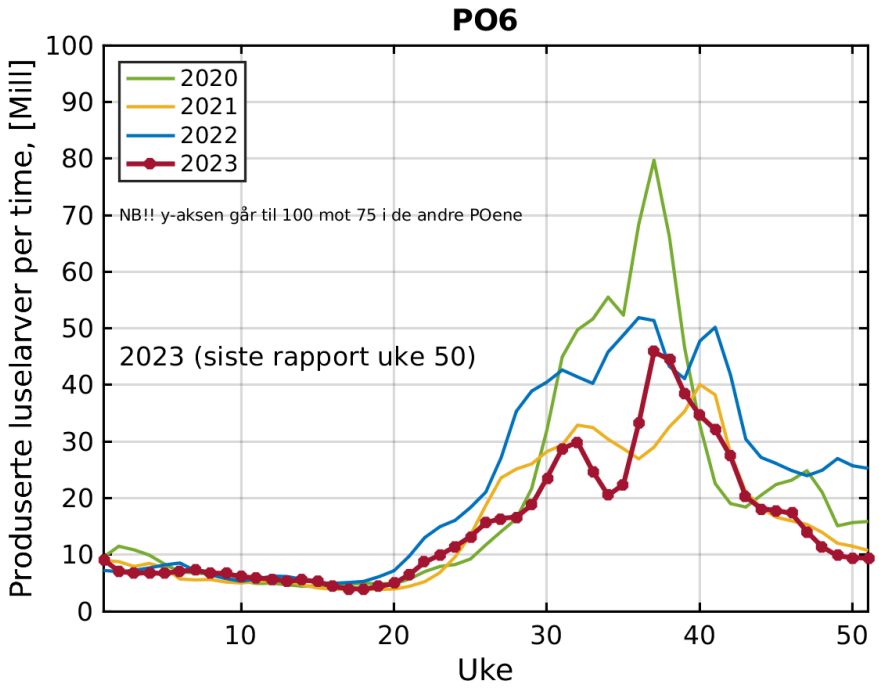

VENSTRE: Observert temperatur i 3m dyp. Sort linje viser middelverdien (2012 - 2022), og skravert felt viser pluss/minus et standardavvik.
HØYRE: Beregnet (Stien mfl 2005) utslipp av luselarver (summert over alle anlegg som rapporterer i PO6) Det er ofte noen etternølere som rapporterer en uke eller to etter fristen. Derfor kan grafene se litt annerledes ut enn i forrige uke.

Støttefigurer:
Sammen med vanntemperatur inngår antall fisk og antall voksne holus per fisk i formelen som benyttes til å estimere antall luselarver på forrige side (Stien mfl 2005)

$$N_{naup} = N_{fish} \cdot N_{female} \cdot 0.17 \cdot (T + 4.28)^2,$$

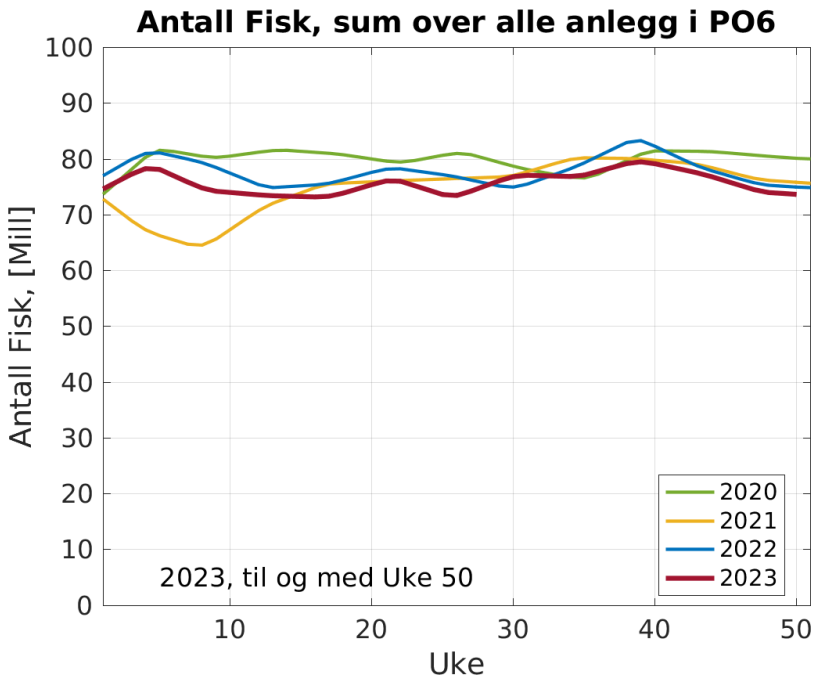

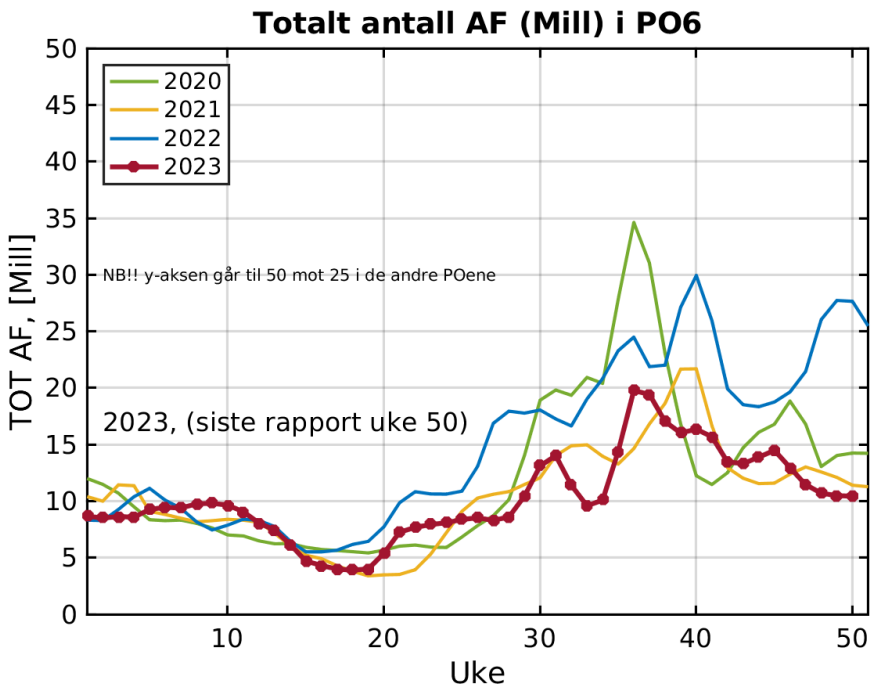

VENSTRE: Antall fisk (laks + regnbueørret) summert over alle anlegg i P006.
HØYRE: Totalt antall voksne holus i PO06(antall fisk * antall holus per fisk).

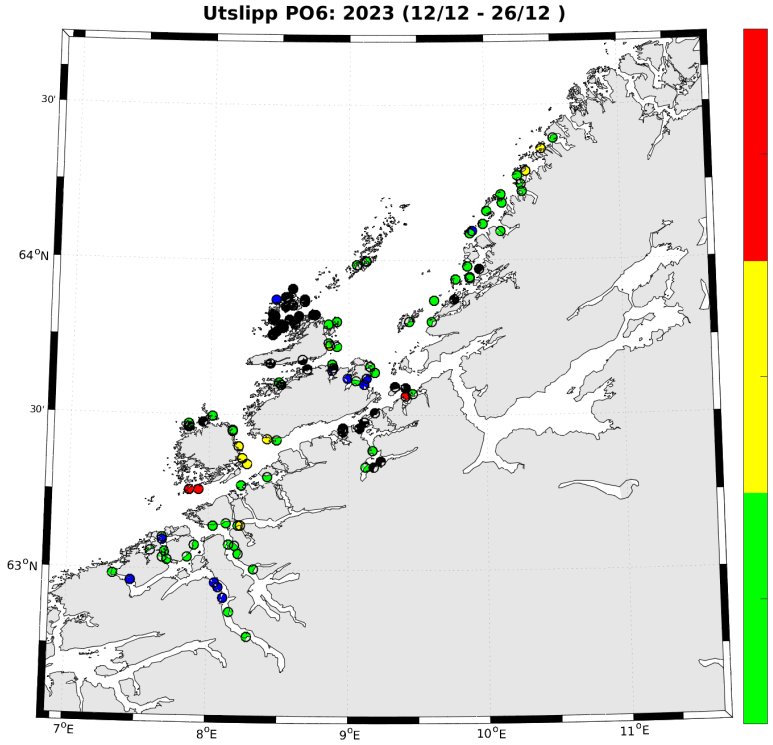

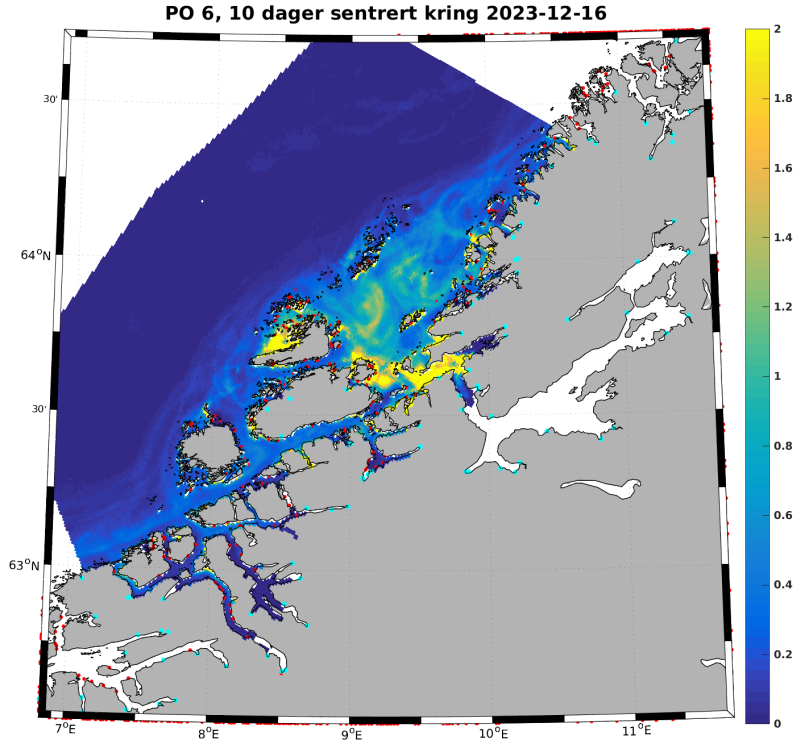

VENSTRE: Beregnet (Stien mfl 2005) utslipp av luselarver (millioner klekte egg per time) per anlegg, uke 50 → Blå anlegg har rapportert null lus. Sorte anlegg har enten ikke rapportert, eller blitt brakklagt ila 2023. Anlegg uten rapporteringer i 2023 er ikke tatt med. Fargeskalaen er relativ, og viser bare innbyrdes variasjon!
HØYRE: Tetthet av smittsomme lakseluslarver (per kvadratmeter), beregnet med Havforskningsinstituttet sin lakselusmodell.

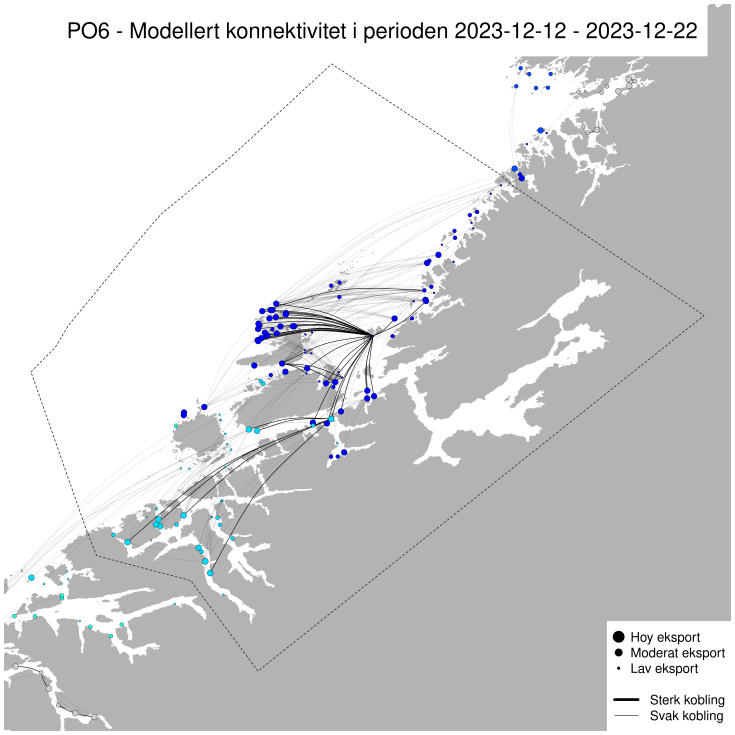

VENSTRE: Smitte av lakselus-kopepoditter mellom lokaliteter.
Fargene viser hvilke lokaliteter som blir definert til å ligge i samme smitte-nettverk (klynge) i den gjeldende perioden. Størrelsen på sirklene er rangert etter samlet eksport fra lokaliteten (store sirkler = stor eksport), basert på landsdekkende estimater for den gjeldende perioden. Tykke linjer (koblinger) viser stor transport og tynne linjer viser lavere transport. Merk at de minste koblingene er utelatt for å gjøre figuren mer lesbar. Linjer som krummer med klokken viser eksport fra en lokalitet og linjer som krummer mot klokken viser import.

Metoden for å identifisere smitte-nettverkene er beskrevet i M.B.O Huserbråten, I.A. Johnsen, Seasonal temperature regulates network connectivity of salmon louse, ICES Journal of Marine Science, 2022;, fsac024. LENKE https://doi.org/10.1093/icesjms/fsac024
Se også nyhetssak fra HI.

PO7

Vurdering frem til uke 51: Vanntemperaturen ligger litt under gjennomsnittet for de siste 11 år.
Antall produserte luselarver (summert over alle anlegg som rapporterer i PO7) ligger om lag som i 2022.

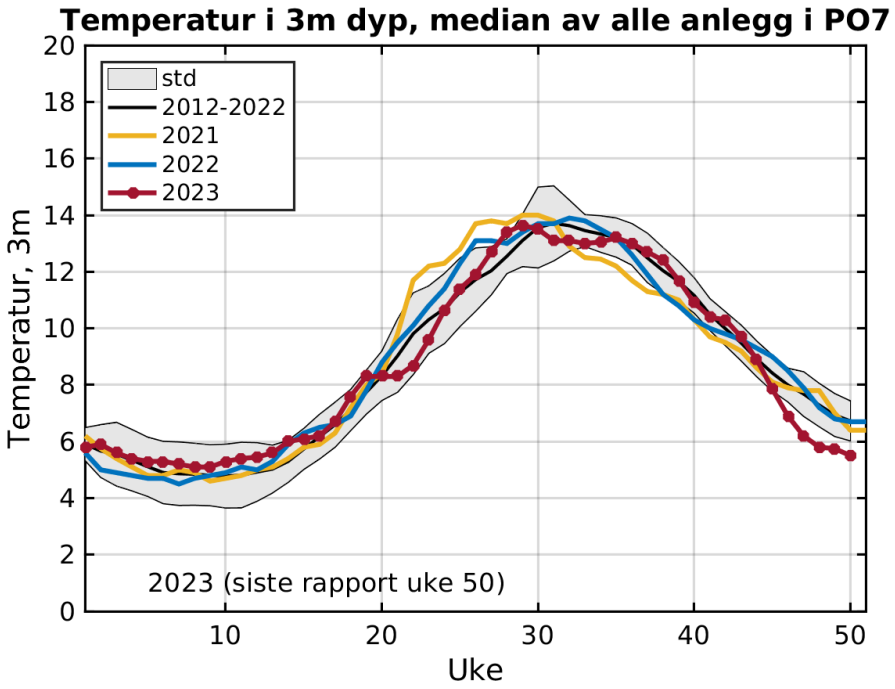

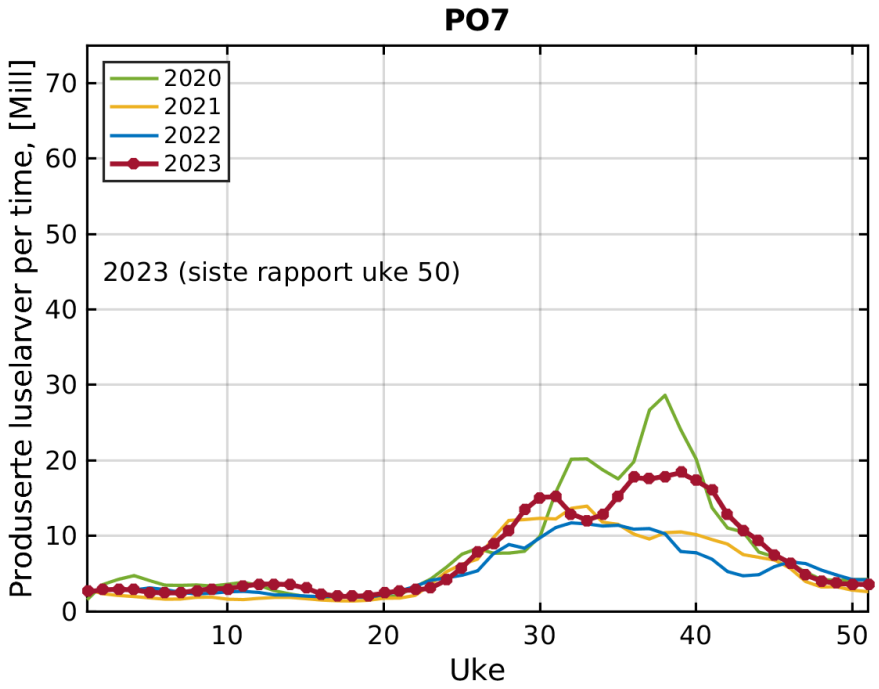

VENSTRE: Observert temperatur i 3m dyp. Sort linje viser middelverdien (2012 - 2022), og skravert felt viser pluss/minus et standardavvik.
HØYRE: Beregnet (Stien mfl 2005) utslipp av luselarver (summert over alle anlegg som rapporterer i PO7) Det er ofte noen etternølere som rapporterer en uke eller to etter fristen. Derfor kan grafene se litt annerledes ut enn i forrige uke.

Støttefigurer:
Sammen med vanntemperatur inngår antall fisk og antall voksne holus per fisk i formelen som benyttes til å estimere antall luselarver på forrige side (Stien mfl 2005)

$$N_{naup} = N_{fish} \cdot N_{female} \cdot 0.17 \cdot (T + 4.28)^2,$$

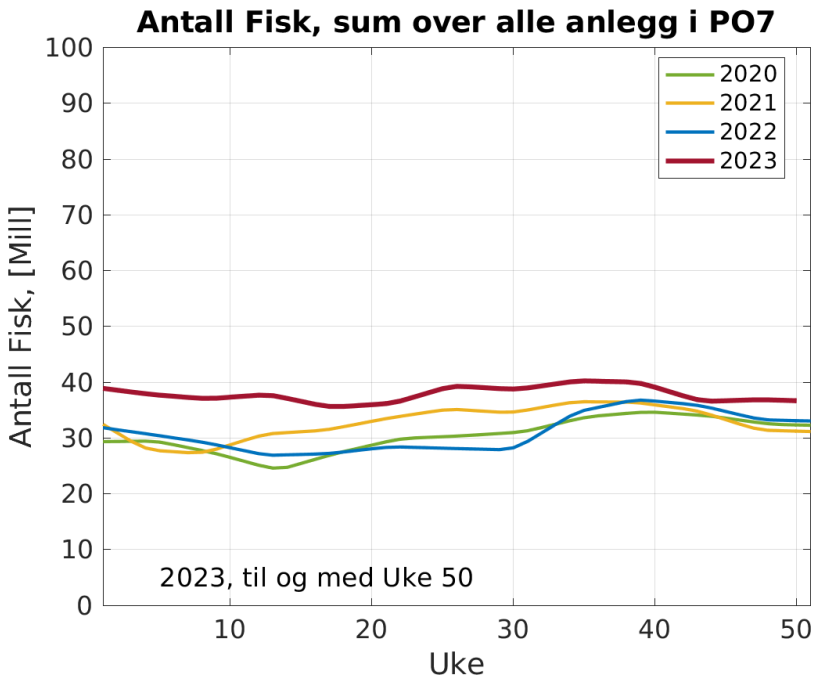

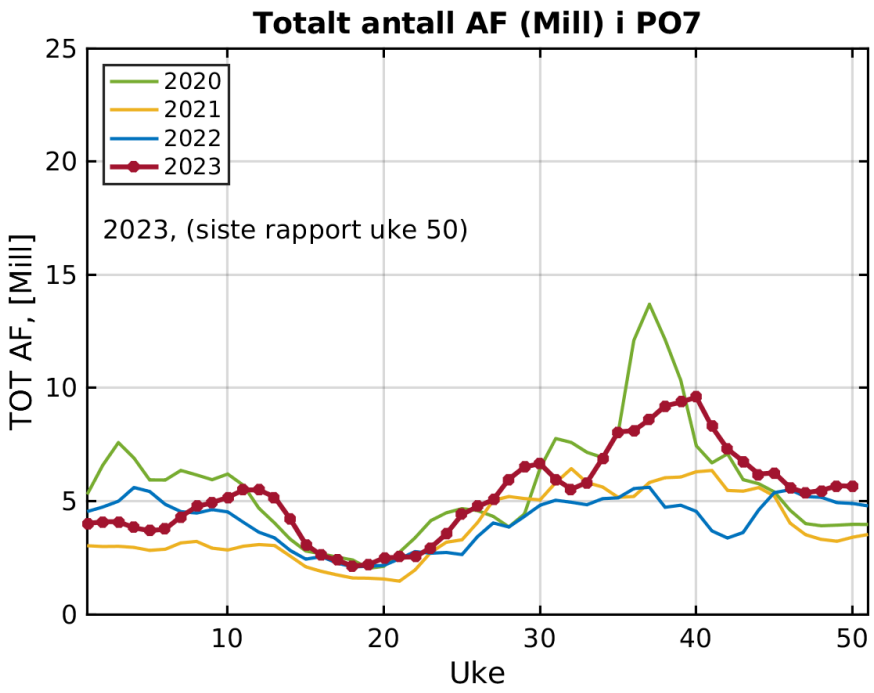

VENSTRE: Antall fisk (laks + regnbueørret) summert over alle anlegg i P007.
HØYRE: Totalt antall voksne holus i PO07(antall fisk * antall holus per fisk).

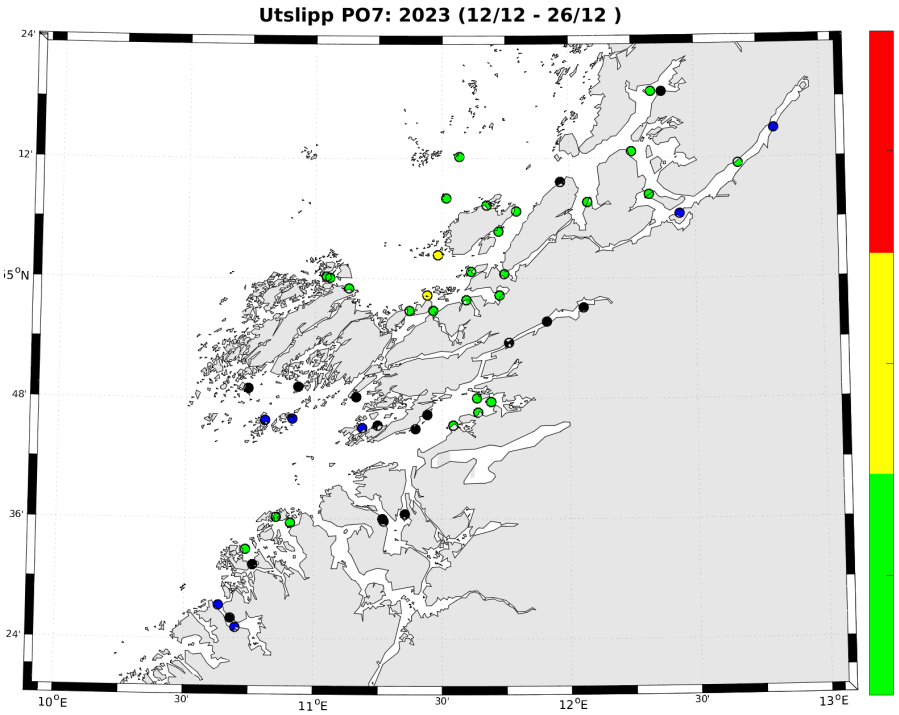

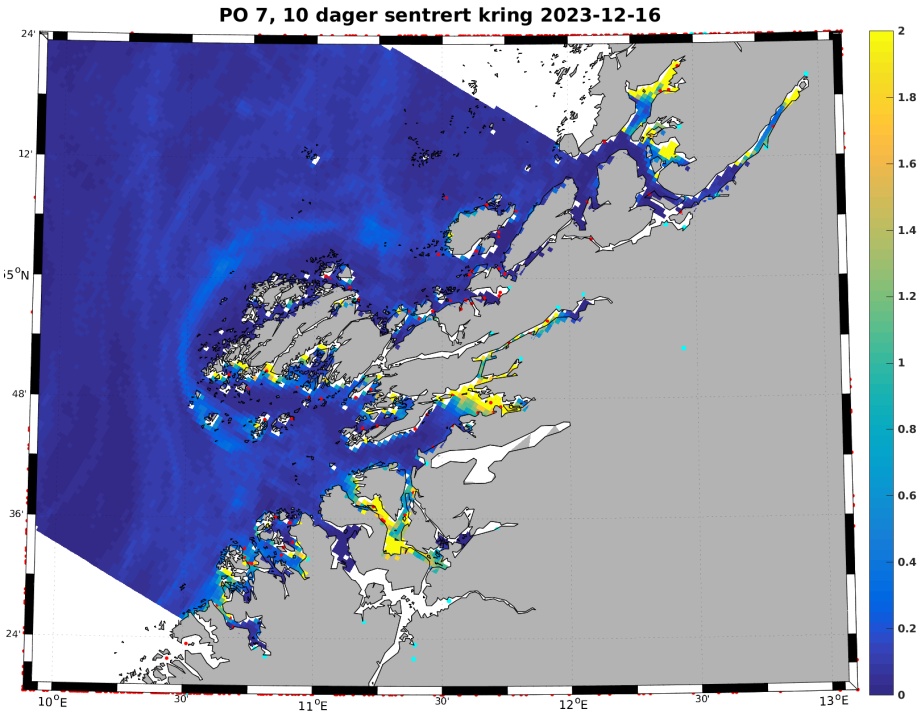

VENSTRE: Beregnet (Stien mfl 2005) utslipp av luselarver (millioner klekte egg per time) per anlegg, uke 50 → Blå anlegg har rapportert null lus. Sorte anlegg har enten ikke rapportert, eller blitt brakklagt ila 2023. Anlegg uten rapporteringer i 2023 er ikke tatt med. Fargeskalaen er relativ, og viser bare innbyrdes variasjon!
HØYRE: Tetthet av smittsomme lakseluslarver (per kvadratmeter), beregnet med Havforskningsinstituttet sin lakselusmodell.

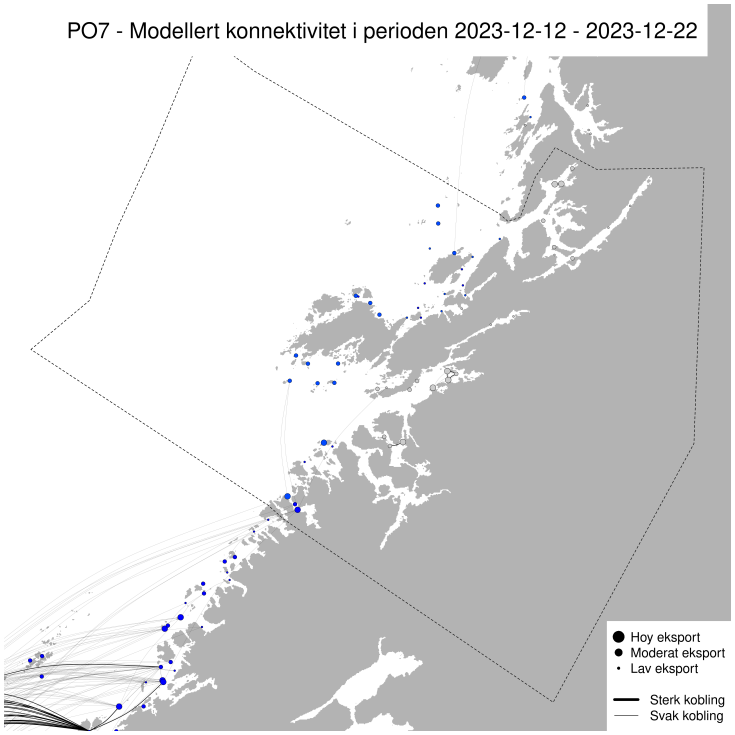

VENSTRE: Smitte av lakselus-kopepoditter mellom lokaliteter.
Fargene viser hvilke lokaliteter som blir definert til å ligge i samme smitte-nettverk (klynge) i den gjeldende perioden. Størrelsen på sirklene er rangert etter samlet eksport fra lokaliteten (store sirkler = stor eksport), basert på landsdekkende estimater for den gjeldende perioden. Tykke linjer (koblinger) viser stor transport og tynne linjer viser lavere transport. Merk at de minste koblingene er utelatt for å gjøre figuren mer lesbar. Linjer som krummer med klokken viser eksport fra en lokalitet og linjer som krummer mot klokken viser import.

Metoden for å identifisere smitte-nettverkene er beskrevet i M.B.O Huserbråten, I.A. Johnsen, Seasonal temperature regulates network connectivity of salmon louse, ICES Journal of Marine Science, 2022;, fsac024. LENKE https://doi.org/10.1093/icesjms/fsac024
Se også nyhetssak fra HI.

PO8

Vurdering frem til uke 51: Vanntemperaturen ligger litt under gjennomsnittet for de siste 11 år.
Antall produserte luselarver (summert over alle anlegg som rapporterer i PO8) ligger om lag som i 2022.

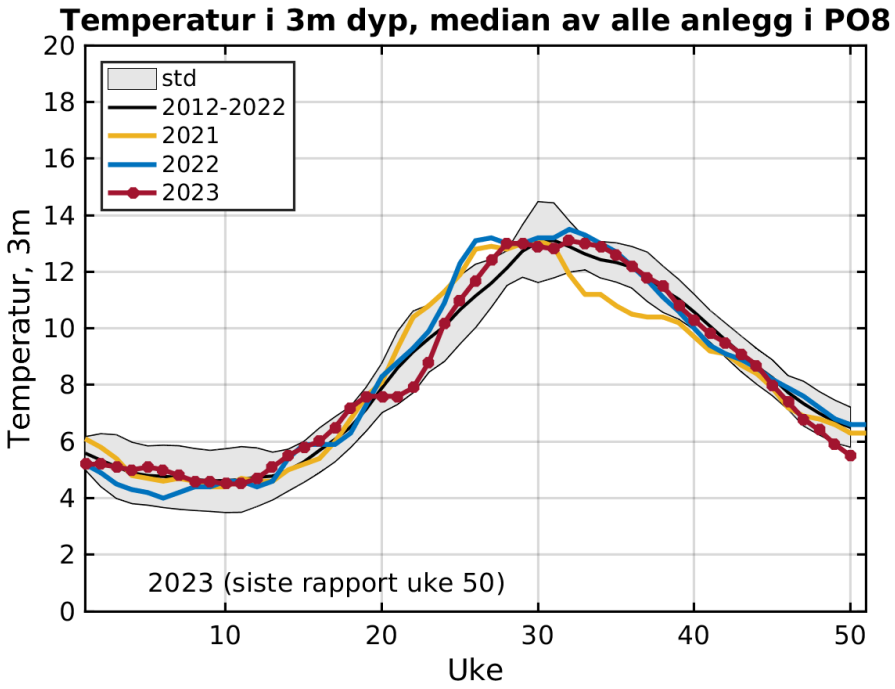

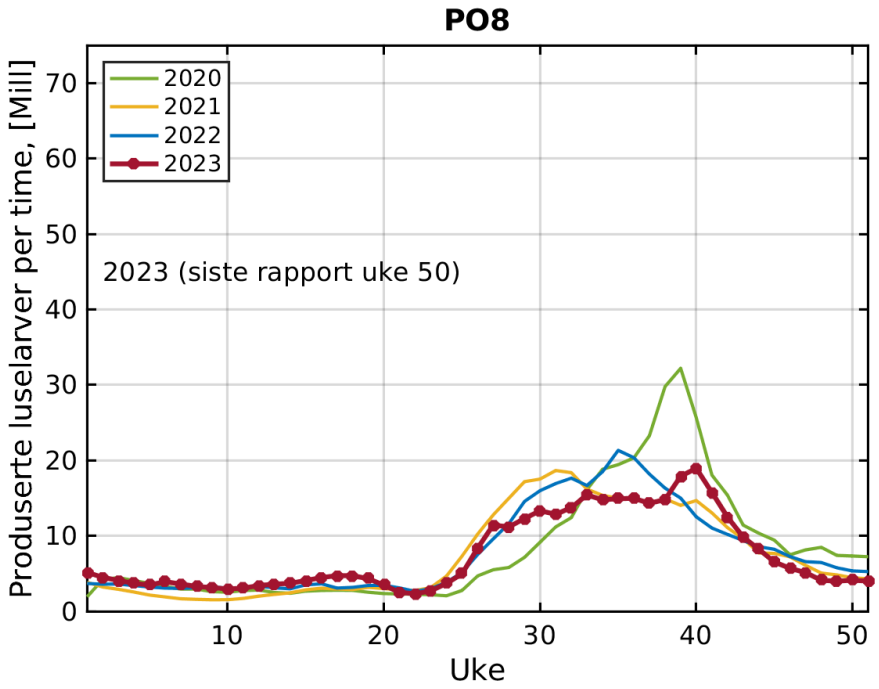

VENSTRE: Observert temperatur i 3m dyp. Sort linje viser middelverdien (2012 - 2022), og skravert felt viser pluss/minus et standardavvik.
HØYRE: Beregnet (Stien mfl 2005) utslipp av luselarver (summert over alle anlegg som rapporterer i PO08) Det er ofte noen etternølere som rapporterer en uke eller to etter fristen. Derfor kan grafene se litt annerledes ut enn i forrige uke.

Støttefigurer:
Sammen med vanntemperatur inngår antall fisk og antall voksne holus per fisk i formelen som benyttes til å estimere antall luselarver på forrige side (Stien mfl 2005)

$$N_{naup} = N_{fish} \cdot N_{female} \cdot 0.17 \cdot (T + 4.28)^2,$$

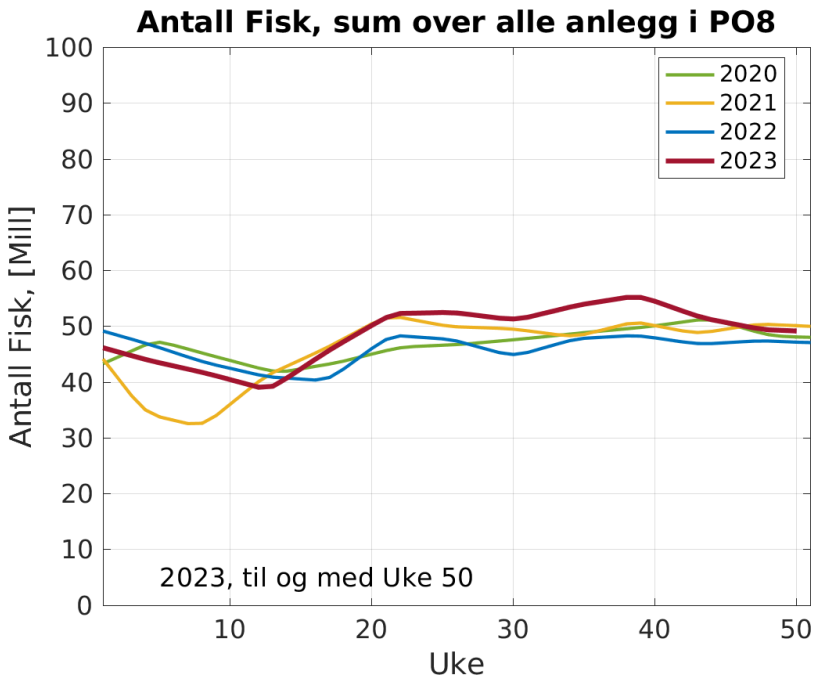

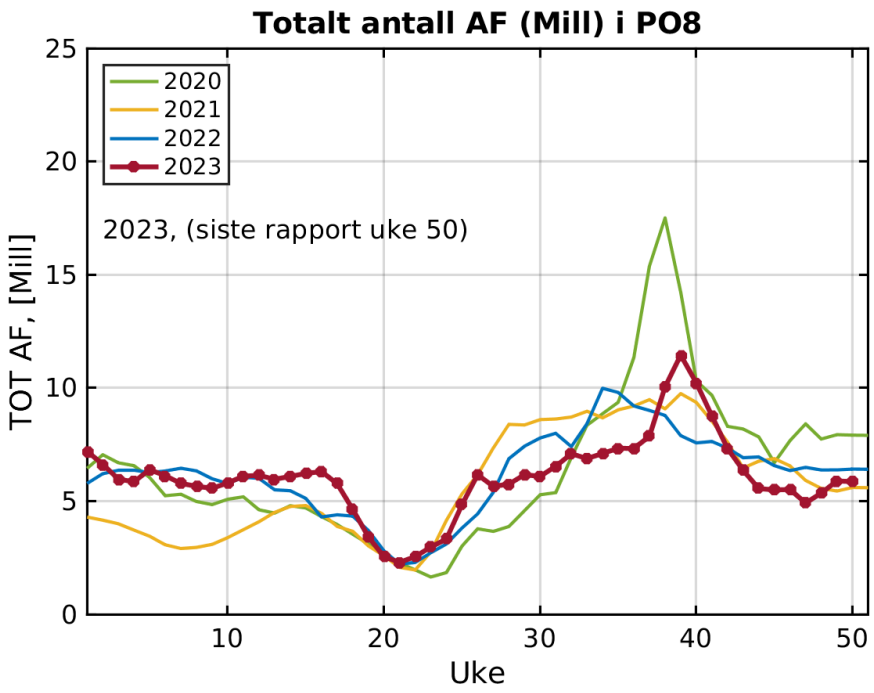

VENSTRE: Antall fisk (laks + regnbueørret) summert over alle anlegg i P008.
HØYRE: Totalt antall voksne holus i PO08(antall fisk * antall holus per fisk).

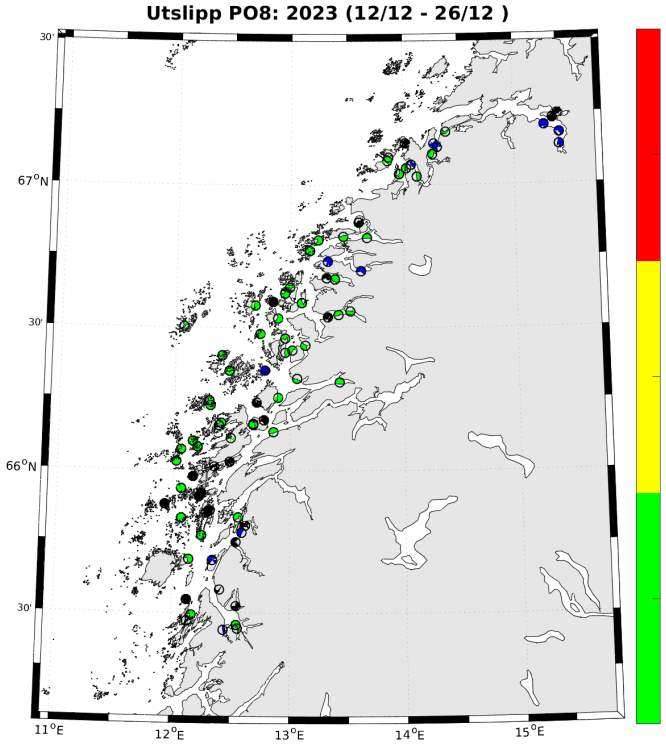

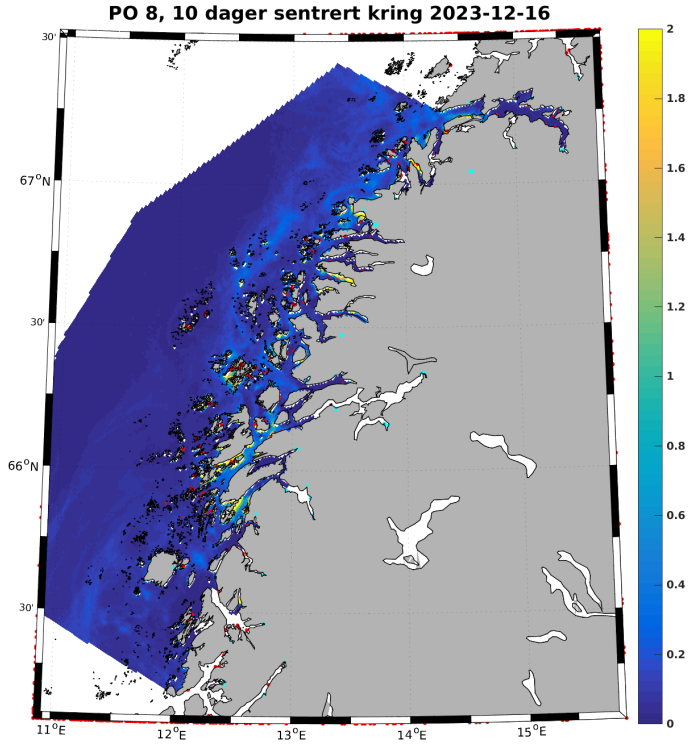

VENSTRE: Beregnet (Stien mfl 2005) utslipp av luselarver (millioner klekte egg per time) per anlegg, uke 50 → Blå anlegg har rapportert null lus. Sorte anlegg har enten ikke rapportert, eller blitt brakklagt ila 2023. Anlegg uten rapporteringer i 2023 er ikke tatt med. Fargeskalaen er relativ, og viser bare innbyrdes variasjon!
HØYRE: Tetthet av smittsomme lakseluslerver (per kvadratmeter), beregnet med Havforskningsinstituttet sin lakselusmodell.

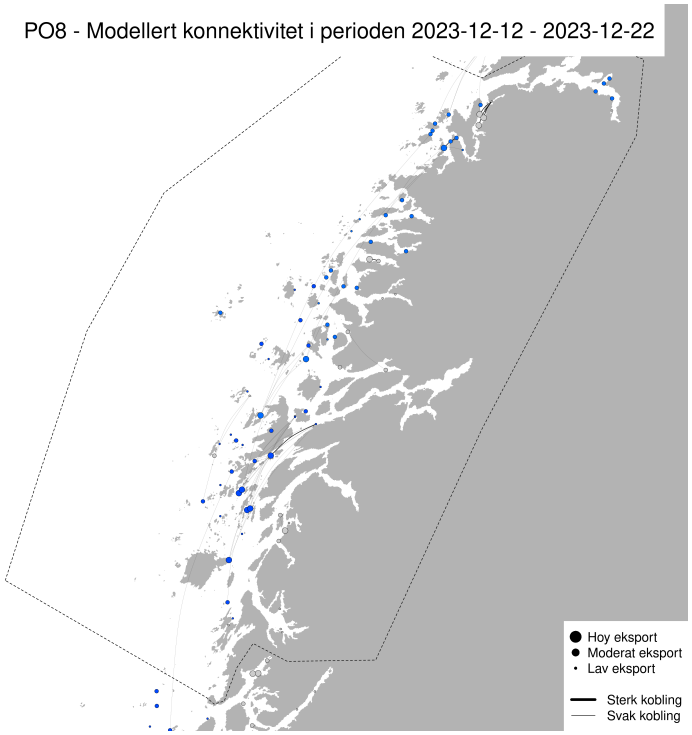

VENSTRE: Smitte av lakselus-kopepoditter mellom lokaliteter.
Fargene viser hvilke lokaliteter som blir definert til å ligge i samme smitte-nettverk (klynge) i den gjeldende perioden. Størrelsen på sirklene er rangert etter samlet eksport fra lokaliteten (store sirkler = stor eksport), basert på landsdekkende estimater for den gjeldende perioden. Tykke linjer (koblinger) viser stor transport og tynne linjer viser lavere transport. Merk at de minste koblingene er utelatt for å gjøre figuren mer lesbar. Linjer som krummer med klokken viser eksport fra en lokalitet og linjer som krummer mot klokken viser import.

Metoden for å identifisere smitte-nettverkene er beskrevet i M.B.O Huserbråten, I.A. Johnsen, Seasonal temperature regulates network connectivity of salmon louse, ICES Journal of Marine Science, 2022;, fsac024. LENKE https://doi.org/10.1093/icesjms/fsac024
Se også nyhetssak fra HI.

PO9

Vurdering frem til uke 51: Vanntemperaturen ligger om lag som gjennomsnittet for de siste 11 år.
Antall produserte luselarver (summert over alle anlegg som rapporterer i PO9) ligger litt under nivået som var i 2022.

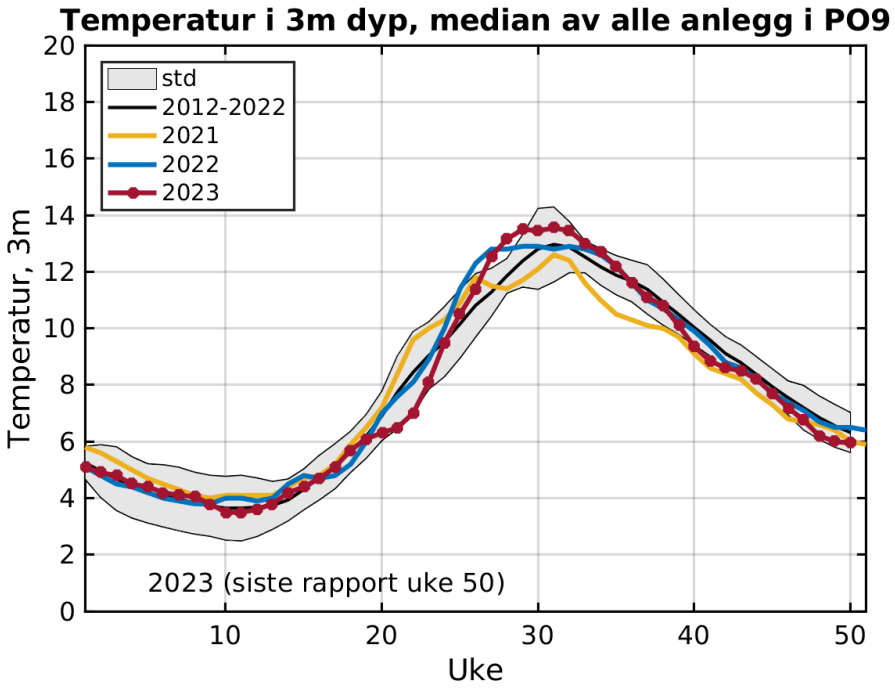

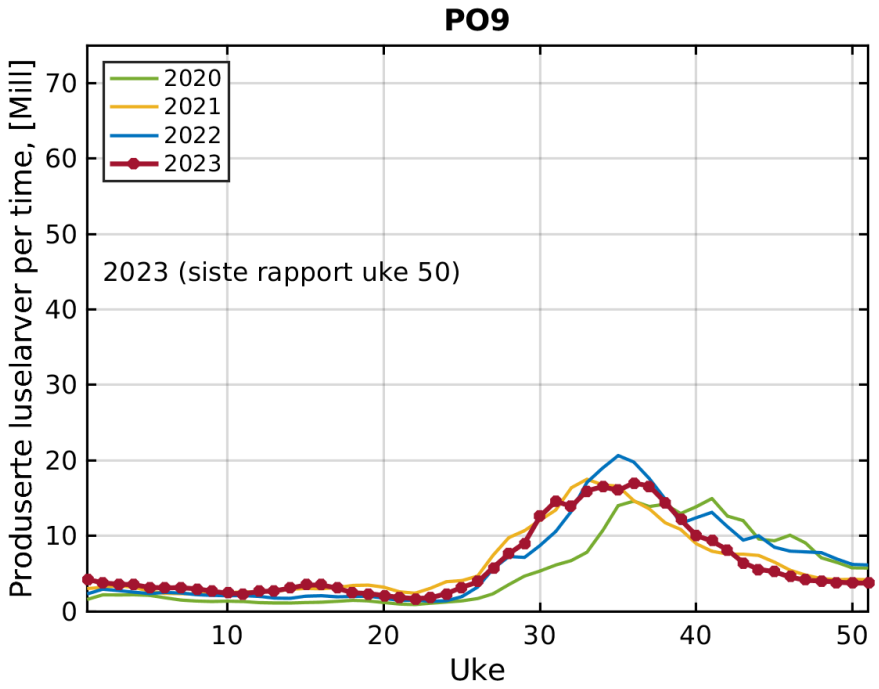

VENSTRE: Observert temperatur i 3m dyp. Sort linje viser middelverdien (2012 - 2022), og skravert felt viser pluss/minus et standardavvik.
HØYRE: Beregnet (Stien mfl 2005) utslipp av luselarver (summert over alle anlegg som rapporterer i PO9) Det er ofte noen etternølere som rapporterer en uke eller to etter fristen. Derfor kan grafene se litt annerledes ut enn i forrige uke.

Støttefigurer:
Sammen med vanntemperatur inngår antall fisk og antall voksne holus per fisk i formelen som benyttes til å estimere antall luselarver på forrige side (Stien mfl 2005)

$$N_{naup} = N_{fish} \cdot N_{female} \cdot 0.17 \cdot (T + 4.28)^2,$$

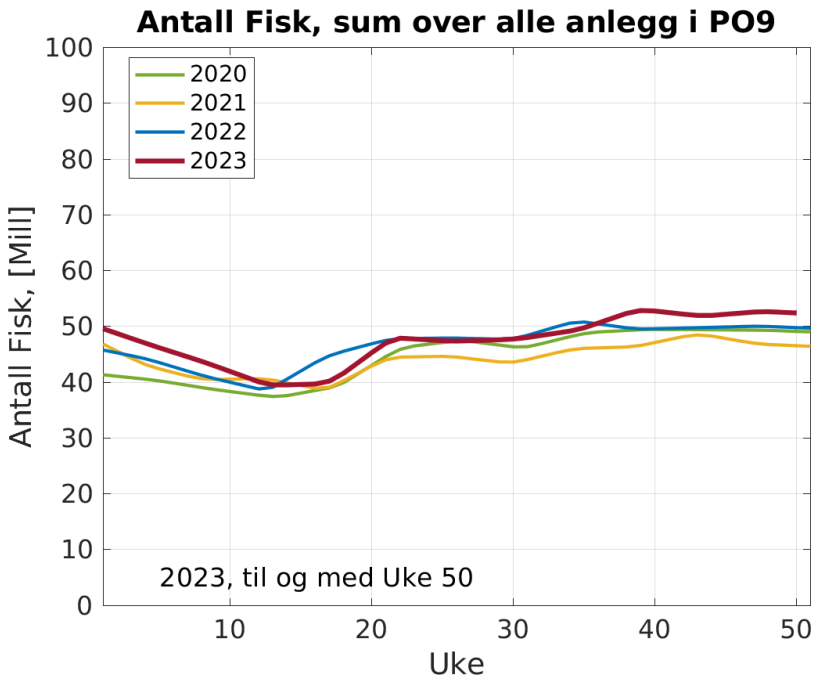

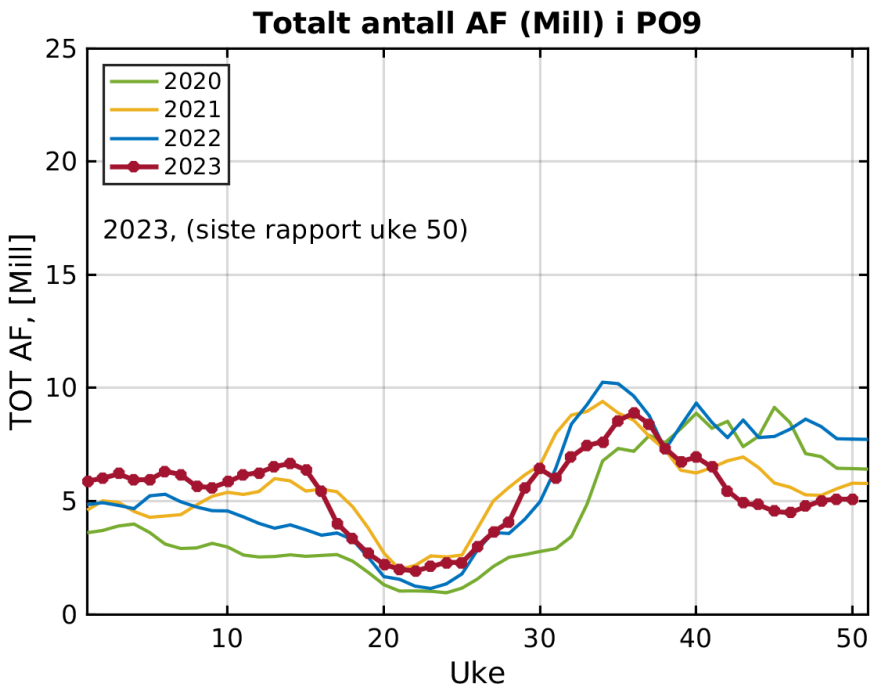

VENSTRE: Antall fisk (laks + regnbueørret) summert over alle anlegg i P009.
HØYRE: Totalt antall voksne holus i PO09(antall fisk * antall holus per fisk).

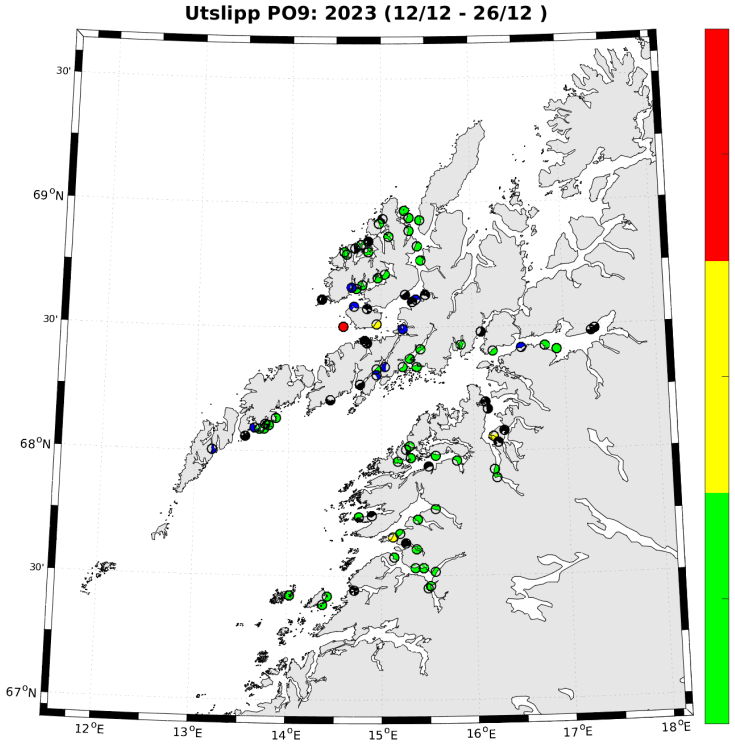

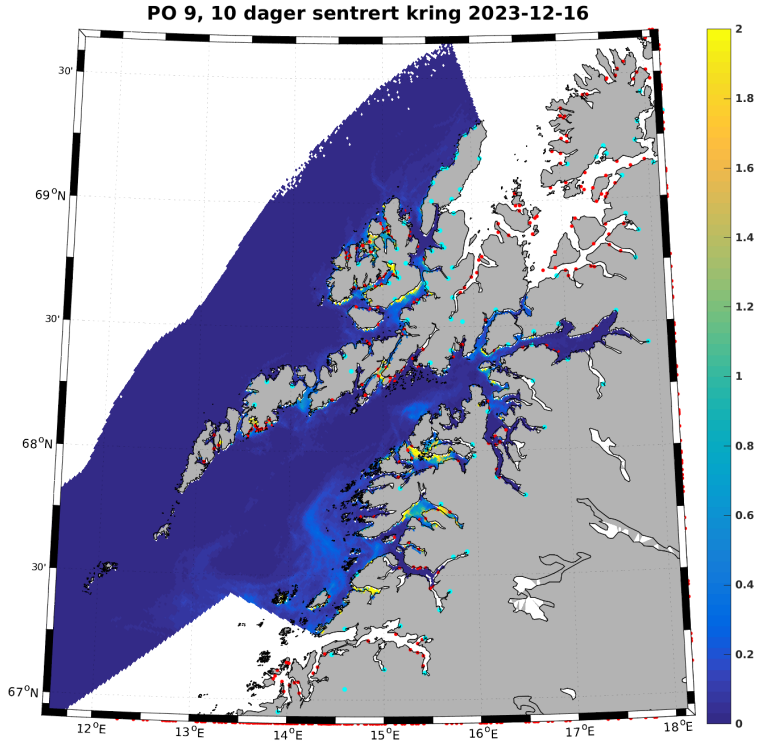

VENSTRE: Beregnet (Stien mfl 2005) utslipp av luselarver (millioner klekte egg per time) per anlegg, uke 50 → Blå anlegg har rapportert null lus. Sorte anlegg har enten ikke rapportert, eller blitt brakklagt ila 2023. Anlegg uten rapporteringer i 2023 er ikke tatt med. Fargeskalaen er relativ, og viser bare innbyrdes variasjon!
HØYRE: Tetthet av smittsomme lakseluslarver (per kvadratmeter), beregnet med Havforskningsinstituttet sin lakselusmodell.

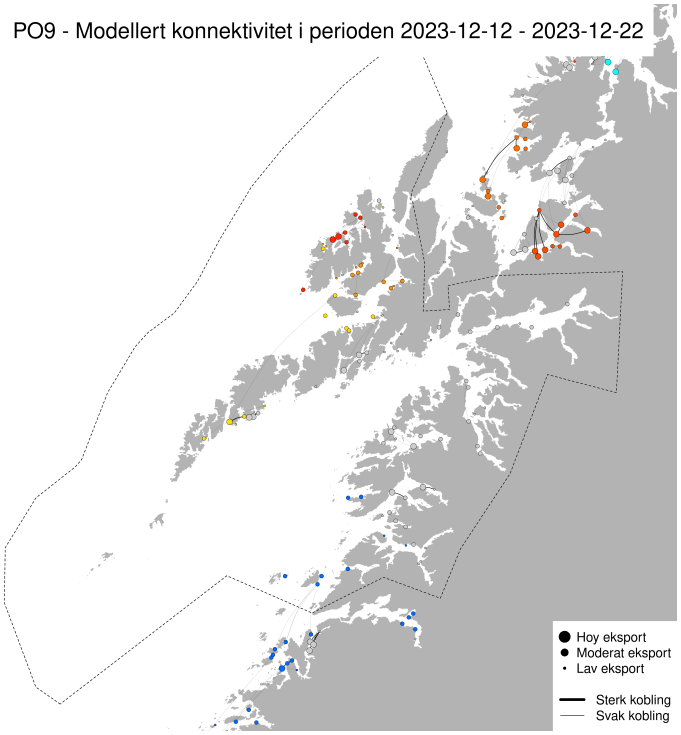

VENSTRE: Smitte av lakselus-kopepoditter mellom lokaliteter.
Fargene viser hvilke lokaliteter som blir definert til å ligge i samme smitte-nettverk (klynge) i den gjeldende perioden. Størrelsen på sirklene er rangert etter samlet eksport fra lokaliteten (store sirkler = stor eksport), basert på landsdekkende estimater for den gjeldende perioden. Tykke linjer (koblinger) viser stor transport og tynne linjer viser lavere transport. Merk at de minste koblingene er utelatt for å gjøre figuren mer lesbar. Linjer som krummer med klokken viser eksport fra en lokalitet og linjer som krummer mot klokken viser import.

Metoden for å identifisere smitte-nettverkene er beskrevet i M.B.O Huserbråten, I.A. Johnsen, Seasonal temperature regulates network connectivity of salmon louse, ICES Journal of Marine Science, 2022;, fsac024. LENKE https://doi.org/10.1093/icesjms/fsac024
Se også nyhetssak fra HI.

PO10

Vurdering frem til uke 51: Vanntemperaturen ligger om lag som gjennomsnittet for de siste 11 år.
Antall produserte luselarver (summert over alle anlegg som rapporterer i PO10) ligger om lag på samme nivå som i 2022.

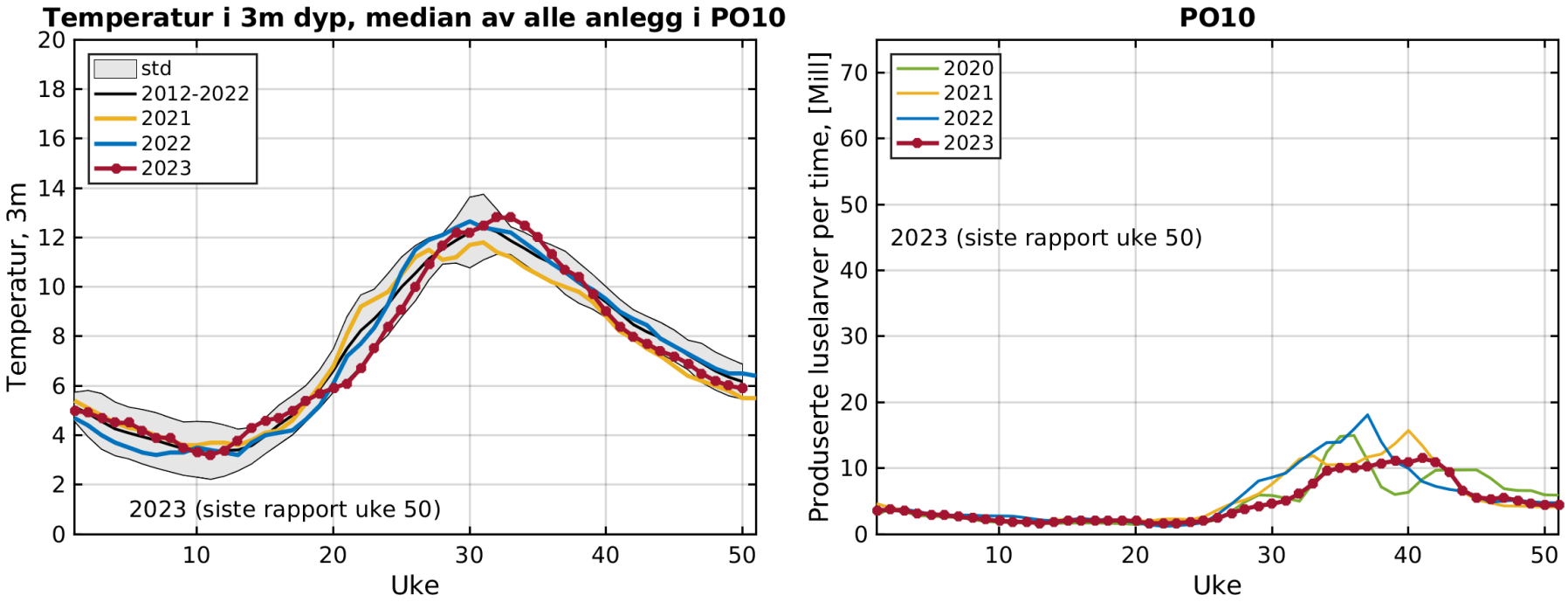

VENSTRE: Observert temperatur i 3m dyp. Sort linje viser middelverdien (2012 - 2022), og skravert felt viser pluss/minus et standardavvik.
HØYRE: Beregnet (Stien mfl 2005) utslipp av luselarver (summert over alle anlegg som rapporterer i PO10) Det er ofte noen etternølere som rapporterer en uke eller to etter fristen. Derfor kan grafene se litt annerledes ut enn i forrige uke.

Støttefigurer:
Sammen med vanntemperatur inngår antall fisk og antall voksne holus per fisk i formelen som benyttes til å estimere antall luselarver på forrige side (Stien mfl 2005)

$$N_{naup} = N_{fish} \cdot N_{female} \cdot 0.17 \cdot (T + 4.28)^2,$$

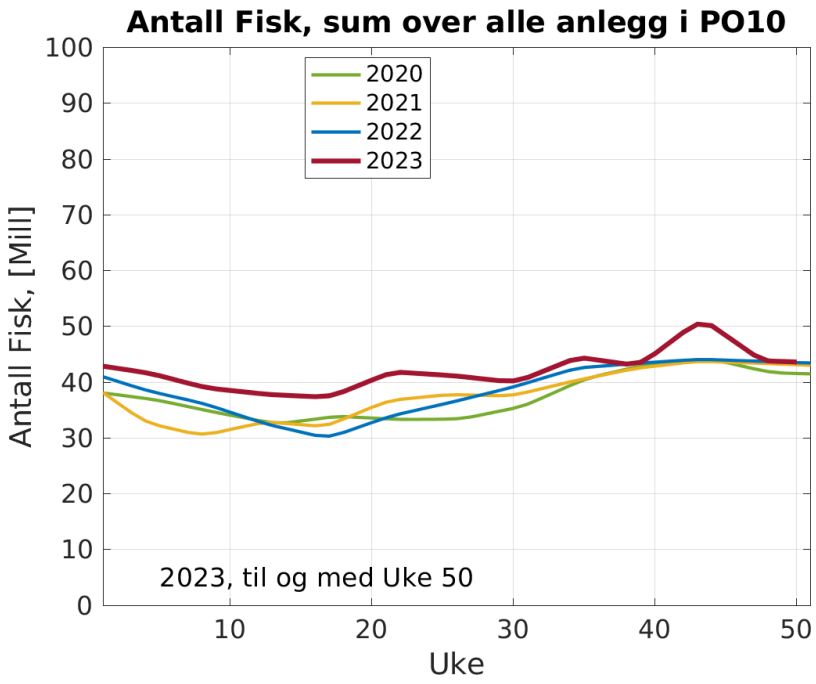

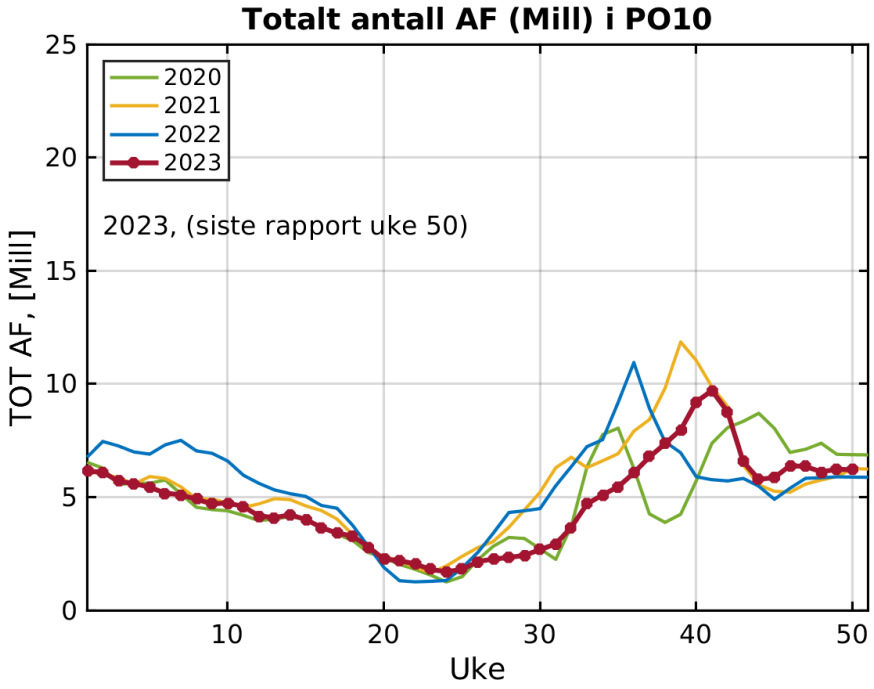

VENSTRE: Antall fisk (laks + regnbueørret) summert over alle anlegg i P010.
HØYRE: Totalt antall voksne holus i PO10(antall fisk * antall holus per fisk).

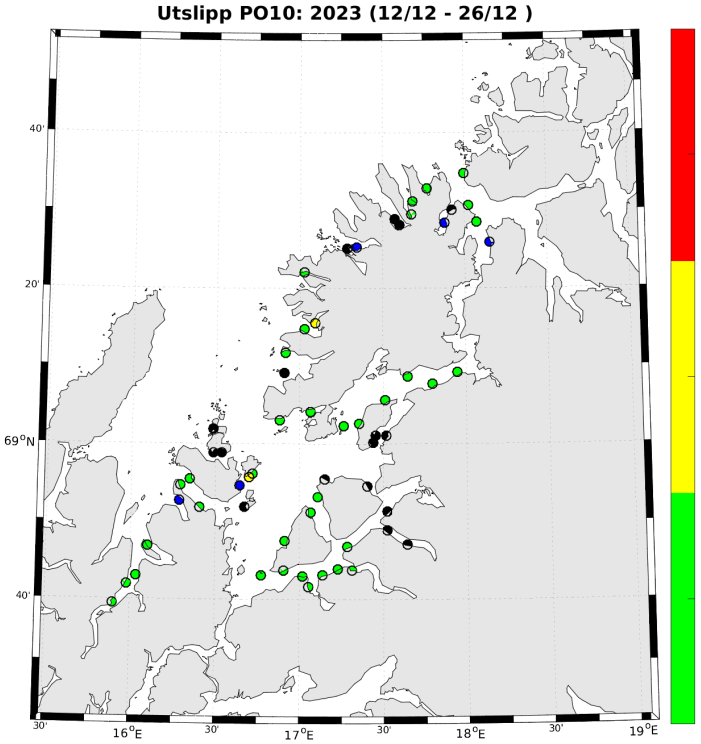

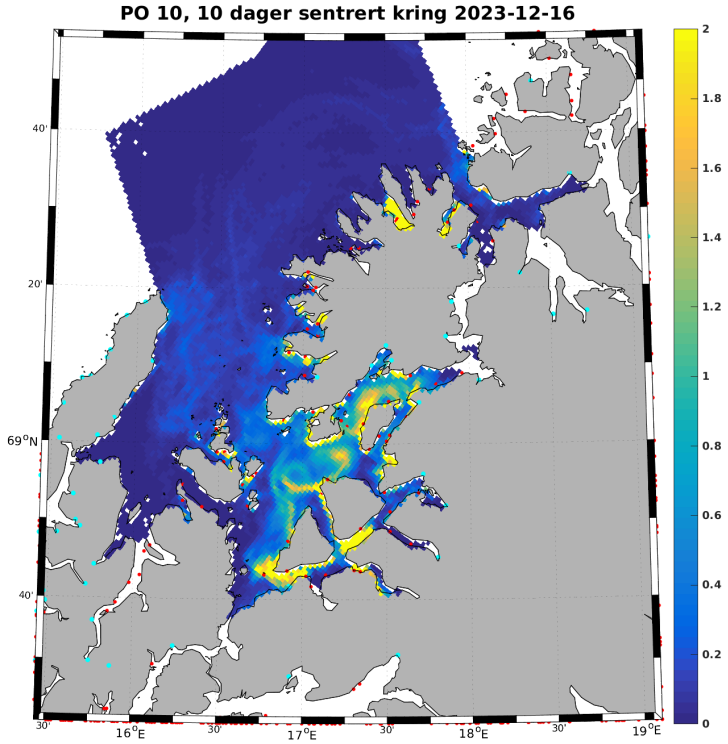

VENSTRE: Beregnet (Stien mfl 2005) utslipp av luselarver (millioner klekte egg per time) per anlegg, uke 50 → Blå anlegg har rapportert null lus. Sorte anlegg har enten ikke rapportert, eller blitt brakklagt ila 2023. Anlegg uten rapporteringer i 2023 er ikke tatt med. Fargeskalaen er relativ, og viser bare innbyrdes variasjon!
HØYRE: Tetthet av smittsomme lakseluslarver (per kvadratmeter), beregnet med Havforskningsinstituttet sin lakselusmodell.

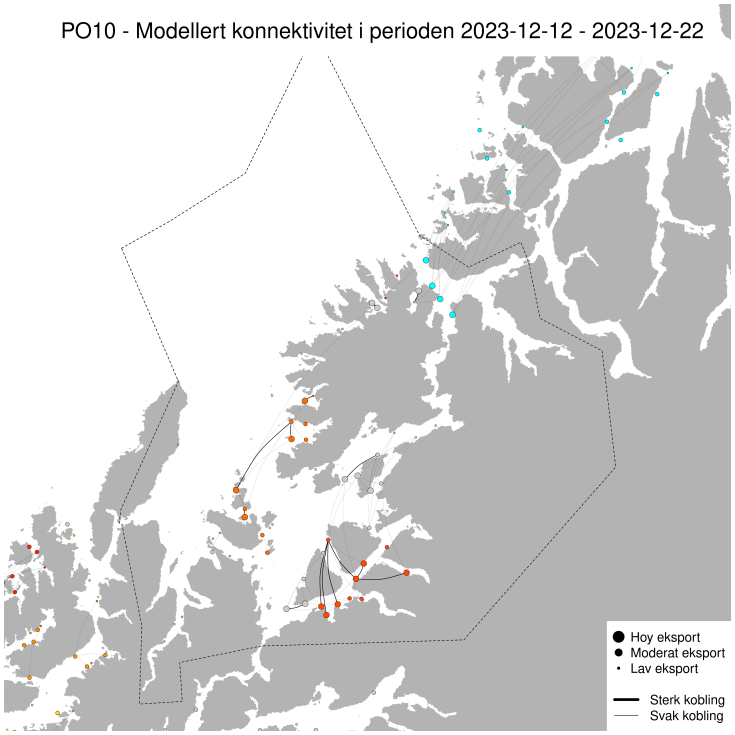

VENSTRE: Smitte av lakselus-kopepoditter mellom lokaliteter.
Fargene viser hvilke lokaliteter som blir definert til å ligge i samme smitte-nettverk (klynge) i den gjeldende perioden. Størrelsen på sirklene er rangert etter samlet eksport fra lokaliteten (store sirkler = stor eksport), basert på landsdekkende estimater for den gjeldende perioden. Tykke linjer (koblinger) viser stor transport og tynne linjer viser lavere transport. Merk at de minste koblingene er utelatt for å gjøre figuren mer lesbar. Linjer som krummer med klokken viser eksport fra en lokalitet og linjer som krummer mot klokken viser import.

Metoden for å identifisere smitte-nettverkene er beskrevet i M.B.O Huserbråten, I.A. Johnsen, Seasonal temperature regulates network connectivity of salmon louse, ICES Journal of Marine Science, 2022;, fsac024. LENKE https://doi.org/10.1093/icesjms/fsac024
Se også nyhetssak fra HI.

PO11

Vurdering frem til uke 51: Vanntemperaturen ligger om lag som gjennomsnittet for de siste 11 år.
Antall produserte luselarver (summert over alle anlegg som rapporterer i PO11) ligger om lag som i 2020 - 2022.

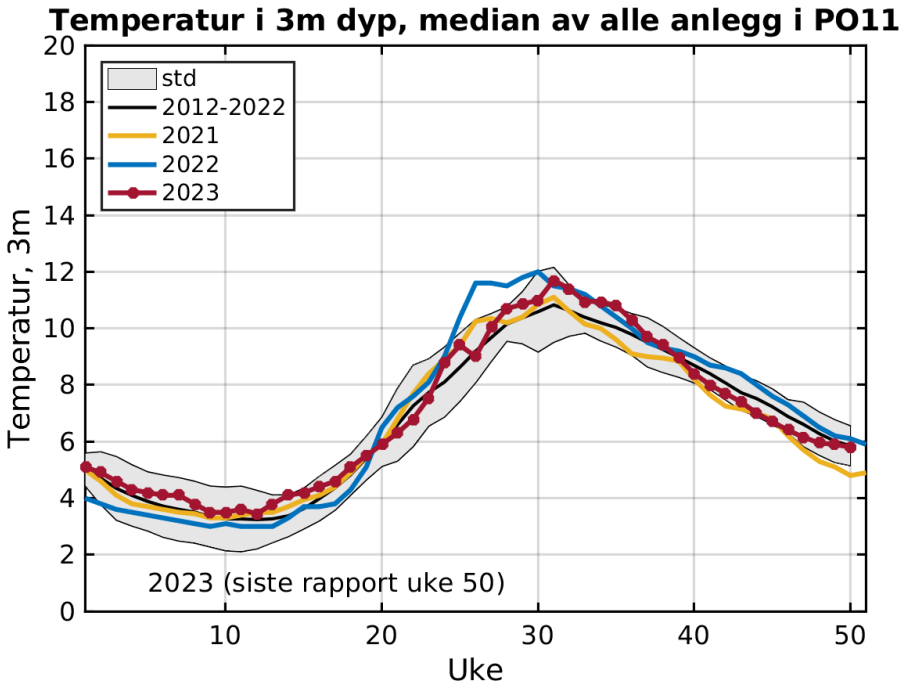

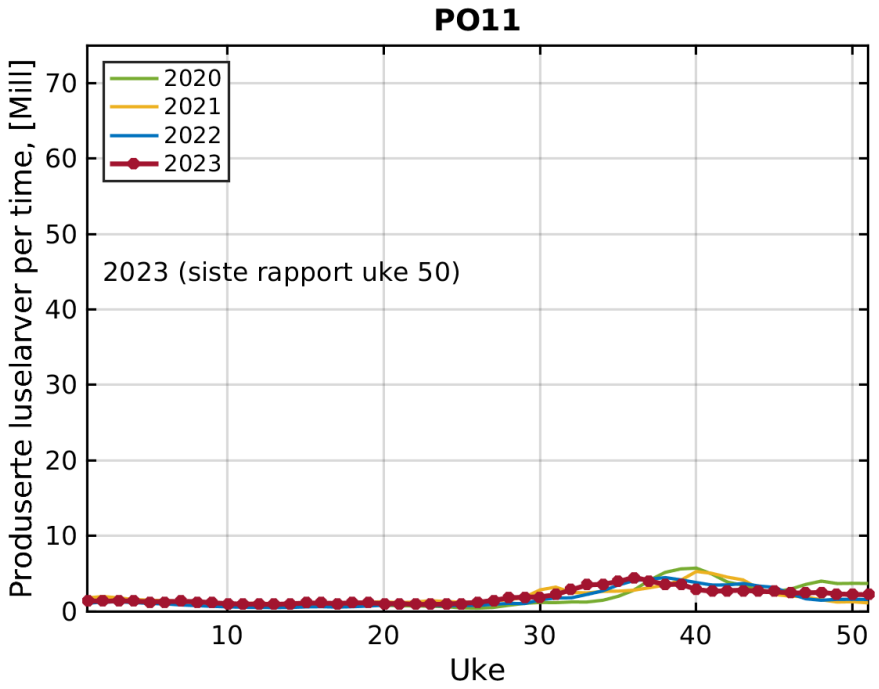

VENSTRE: Observert temperatur i 3m dyp. Sort linje viser middelverdien (2012 - 2022), og skravert felt viser pluss/minus et standardavvik.
HØYRE: Beregnet (Stien mfl 2005) utslipp av luselarver (summert over alle anlegg som rapporterer i PO11) Det er ofte noen etternølere som rapporterer en uke eller to etter fristen. Derfor kan grafene se litt annerledes ut enn i forrige uke.

Støttefigurer:
Sammen med vanntemperatur inngår antall fisk og antall voksne holus per fisk i formelen som benyttes til å estimere antall luselarver på forrige side (Stien mfl 2005)

$$N_{naup} = N_{fish} \cdot N_{female} \cdot 0.17 \cdot (T + 4.28)^2,$$

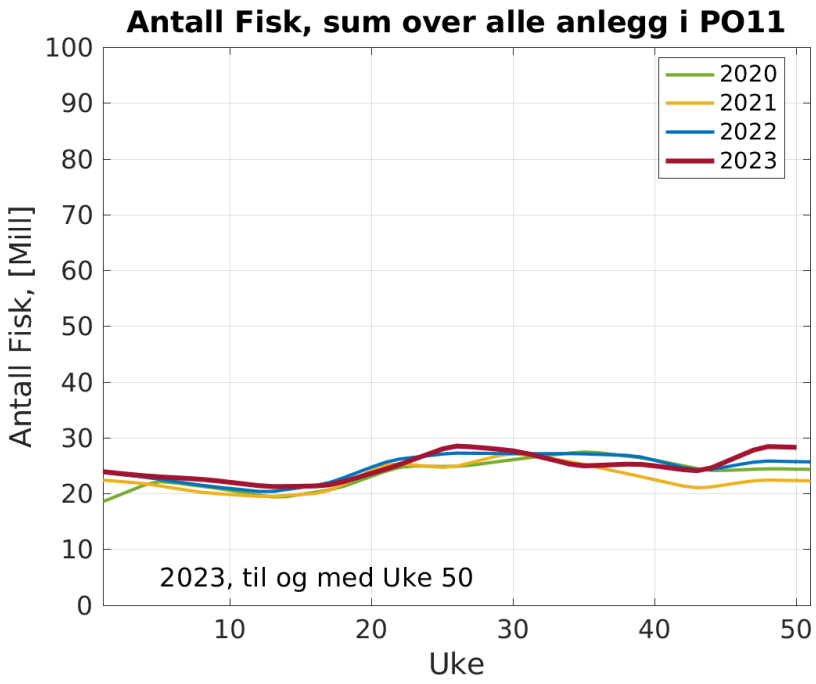

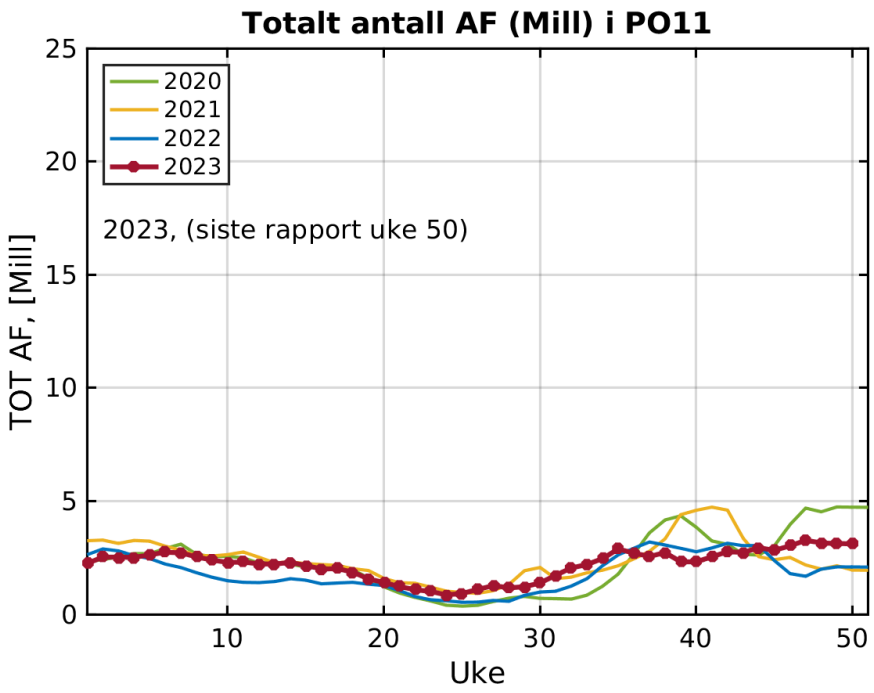

VENSTRE: Antall fisk (laks + regnbueørret) summert over alle anlegg i P011.
HØYRE: Totalt antall voksne holus i PO11(antall fisk * antall holus per fisk).

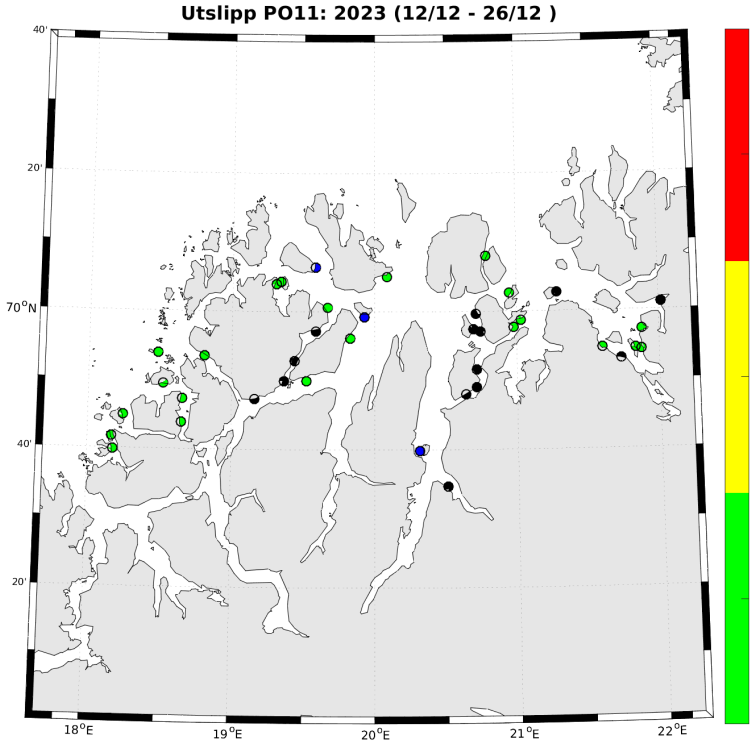

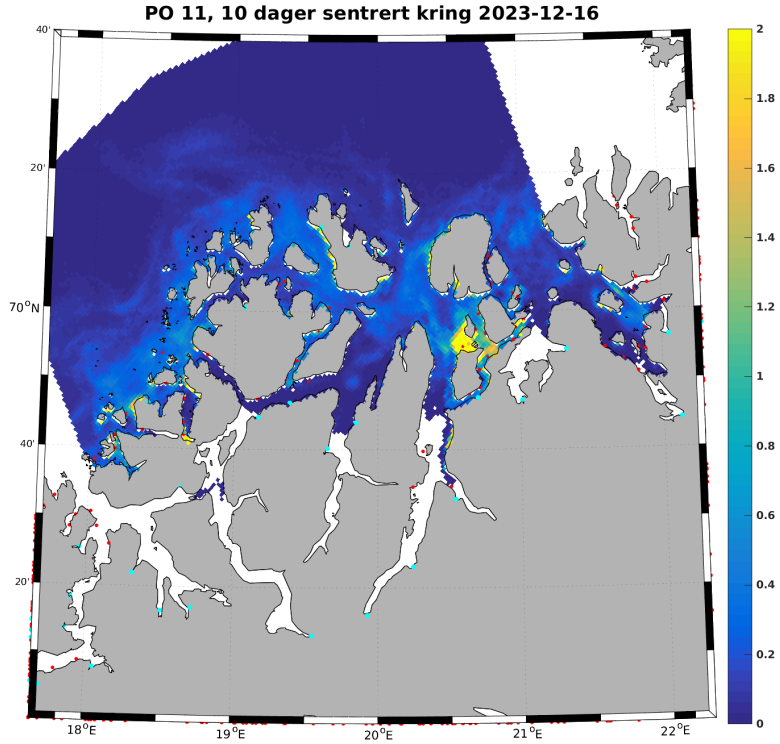

VENSTRE: Beregnet (Stien mfl 2005) utslipp av luselarver (millioner klekte egg per time) per anlegg, uke 50 → Blå anlegg har rapportert null lus. Sorte anlegg har enten ikke rapportert, eller blitt brakklagt ila 2023. Anlegg uten rapporteringer i 2023 er ikke tatt med. Fargeskalaen er relativ, og viser bare innbyrdes variasjon!
HØYRE: Tetthet av smittsomme lakseluslarver (per kvadratmeter), beregnet med Havforskningsinstituttet sin lakselusmodell.

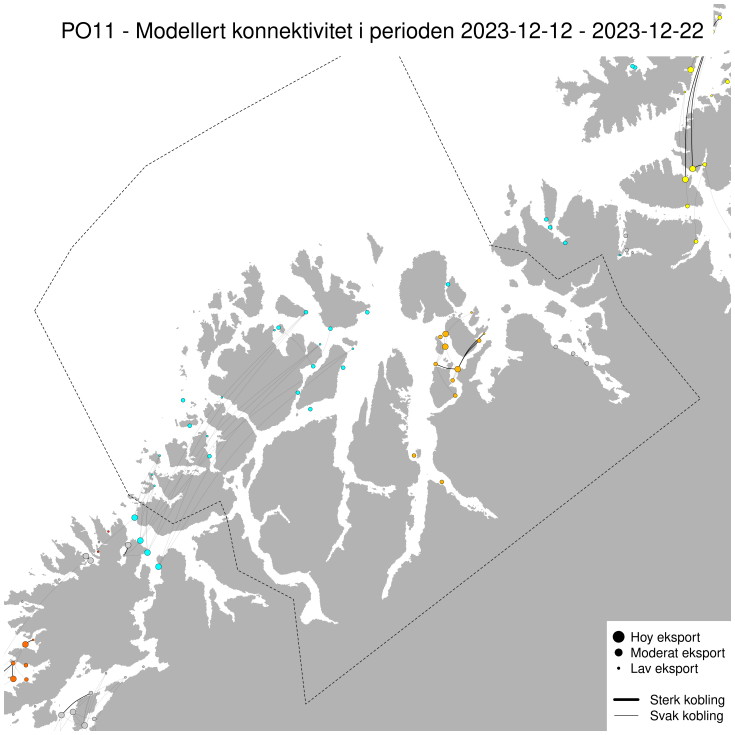

VENSTRE: Smitte av lakselus-kopepoditter mellom lokaliteter.
Fargene viser hvilke lokaliteter som blir definert til å ligge i samme smitte-nettverk (klynge) i den gjeldende perioden. Størrelsen på sirklene er rangert etter samlet eksport fra lokaliteten (store sirkler = stor eksport), basert på landsdekkende estimater for den gjeldende perioden. Tykke linjer (koblinger) viser stor transport og tynne linjer viser lavere transport. Merk at de minste koblingene er utelatt for å gjøre figuren mer lesbar. Linjer som krummer med klokken viser eksport fra en lokalitet og linjer som krummer mot klokken viser import.

Metoden for å identifisere smitte-nettverkene er beskrevet i M.B.O Huserbråten, I.A. Johnsen, Seasonal temperature regulates network connectivity of salmon louse, ICES Journal of Marine Science, 2022;, fsac024. LENKE https://doi.org/10.1093/icesjms/fsac024
Se også nyhetssak fra HI.

PO12

Vurdering frem til uke 51: Vanntemperaturen ligger om lag som gjennomsnittet for de siste 11 år.
Antall produserte luselarver (summert over alle anlegg som rapporterer i PO12) om lag på samme nivå som i 2022.

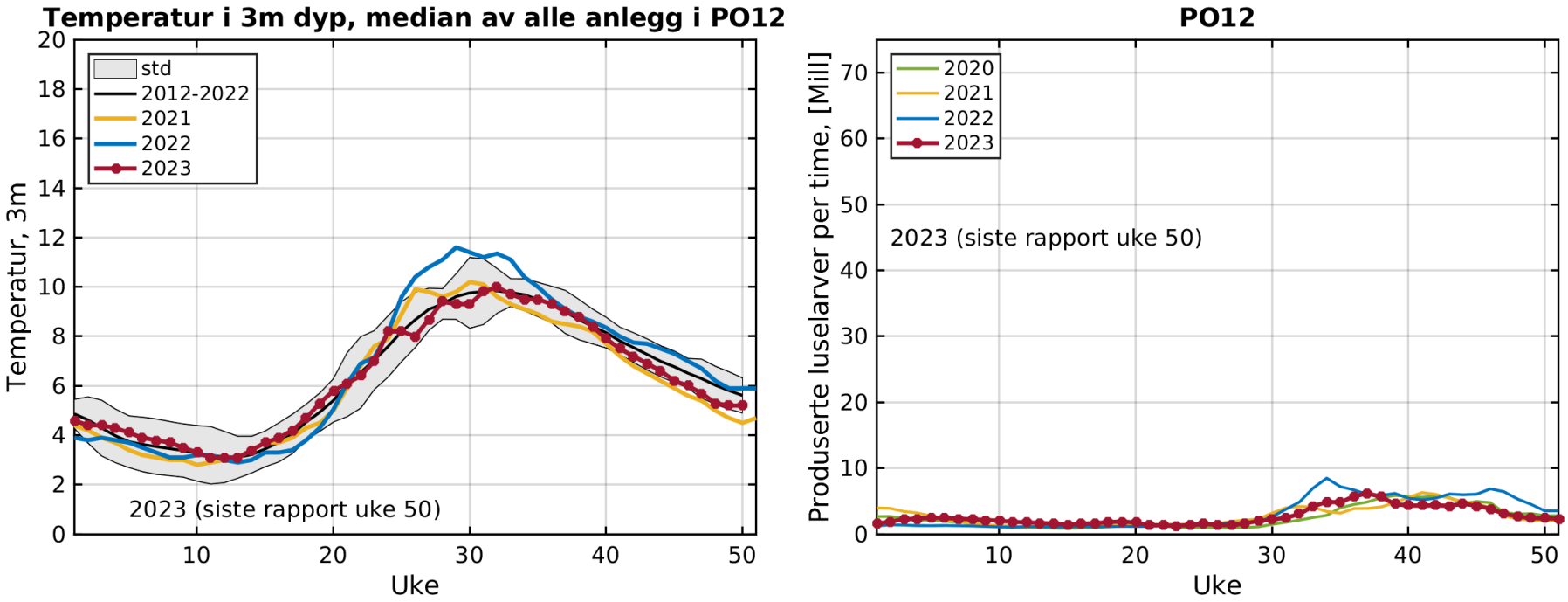

VENSTRE: Observert temperatur i 3m dyp. Sort linje viser middelverdien (2012 - 2022), og skravert felt viser pluss/minus et standardavvik.
HØYRE: Beregnet (Stien mfl 2005) utslipp av luselarver (summert over alle anlegg som rapporterer i PO12) Det er ofte noen etternølere som rapporterer en uke eller to etter fristen. Derfor kan grafene se litt annerledes ut enn i forrige uke.

Støttefigurer:
Sammen med vanntemperatur inngår antall fisk og antall voksne holus per fisk i formelen som benyttes til å estimere antall luselarver på forrige side (Stien mfl 2005)

$$N_{naup} = N_{fish} \cdot N_{female} \cdot 0.17 \cdot (T + 4.28)^2,$$

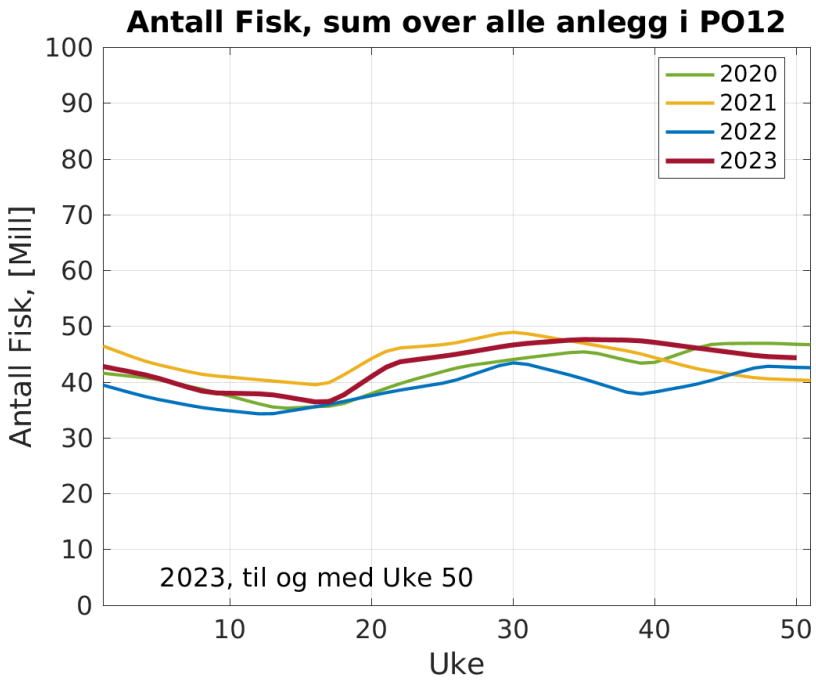

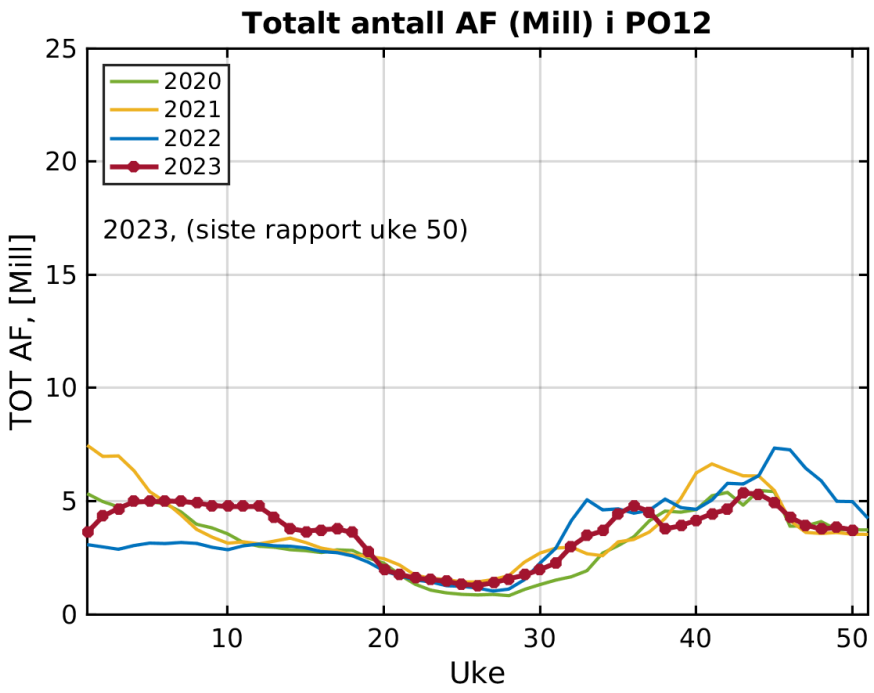

VENSTRE: Antall fisk (laks + regnbueørret) summert over alle anlegg i P012.
HØYRE: Totalt antall voksne holus i PO12(antall fisk * antall holus per fisk).

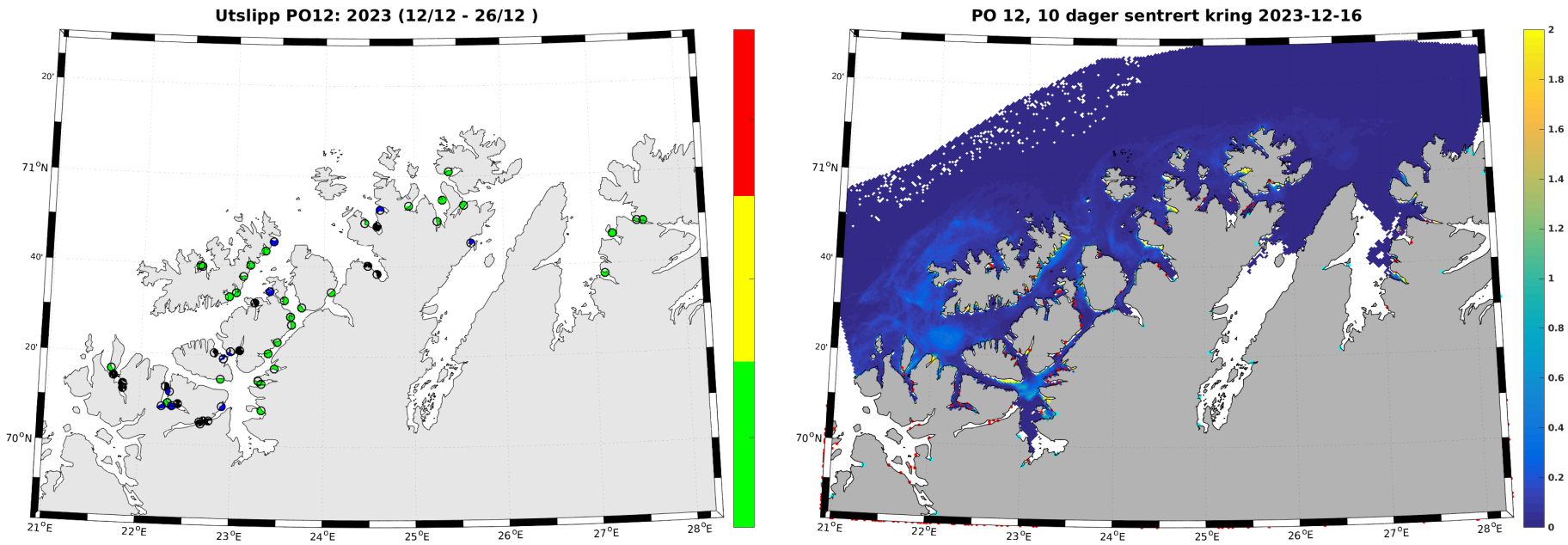

VENSTRE: Beregnet (Stien mfl 2005) utslipp av luselarver (millioner klekte egg per time) per anlegg, uke 50 → Blå anlegg har rapportert null lus. Sorte anlegg har enten ikke rapportert, eller blitt brakklagt ila 2023. Anlegg uten rapporteringer i 2023 er ikke tatt med. Fargeskalaen er relativ, og viser bare innbyrdes variasjon!
HØYRE: Tetthet av smittsomme lakseluslarver (per kvadratmeter), beregnet med Havforskningsinstituttet sin lakselusmodell.

PO12 - Modellert konnektivitet i perioden 2023-12-12 - 2023-12-22

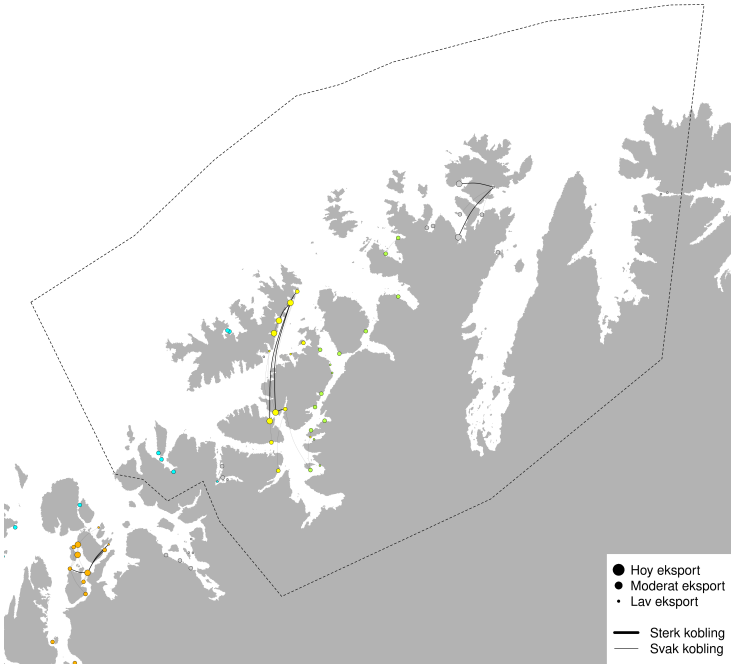

VENSTRE: Smitte av lakselus-kopepoditter mellom lokaliteter.
Fargene viser hvilke lokaliteter som blir definert til å ligge i samme smitte-nettverk (klynge) i den gjeldende perioden. Størrelsen på sirklene er rangert etter samlet eksport fra lokaliteten (store sirkler = stor eksport), basert på landsdekkende estimater for den gjeldende perioden. Tykke linjer (koblinger) viser stor transport og tynne linjer viser lavere transport. Merk at de minste koblingene er utelatt for å gjøre figuren mer lesbar. Linjer som krummer med klokken viser eksport fra en lokalitet og linjer som krummer mot klokken viser import.

Metoden for å identifisere smitte-nettverkene er beskrevet i M.B.O Huserbråten, I.A. Johnsen, Seasonal temperature regulates network connectivity of salmon louse, ICES Journal of Marine Science, 2022;, fsac024. LENKE https://doi.org/10.1093/icesjms/fsac024
Se også nyhetssak fra HI.

PO13

Vurdering frem til uke 51: Vanntemperaturen er om lag som i 2022.
Her mangler data for enkelte uker i enkelte år slik at en vuredring i forhold til gjennomsnittet for de siste 11 år ikke kan utføres.
Antall produserte luselarver (summert over alle anlegg som rapporterer i PO13) er lavt, som i 2020 - 2022.

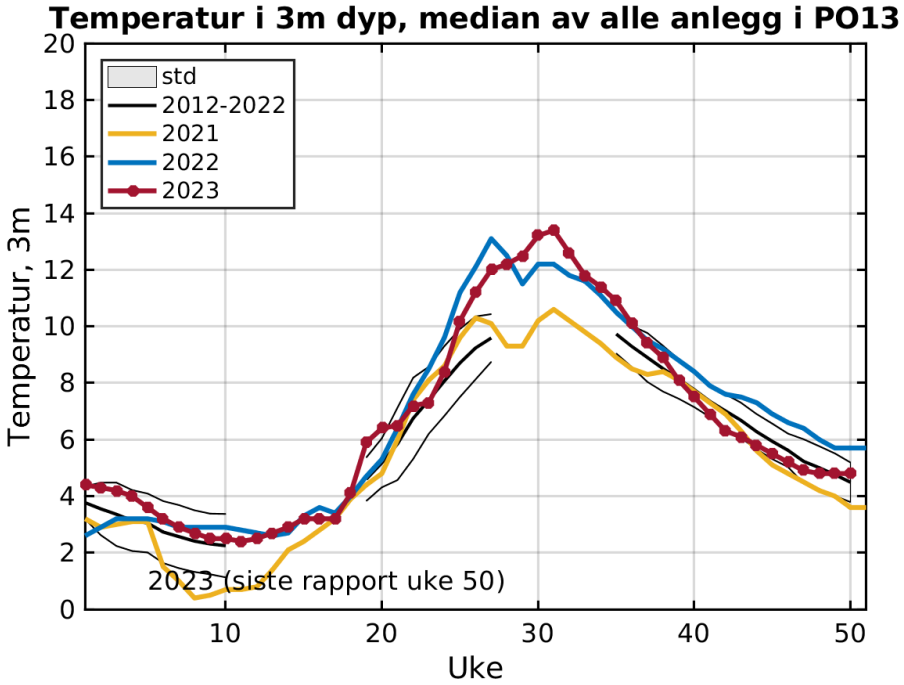

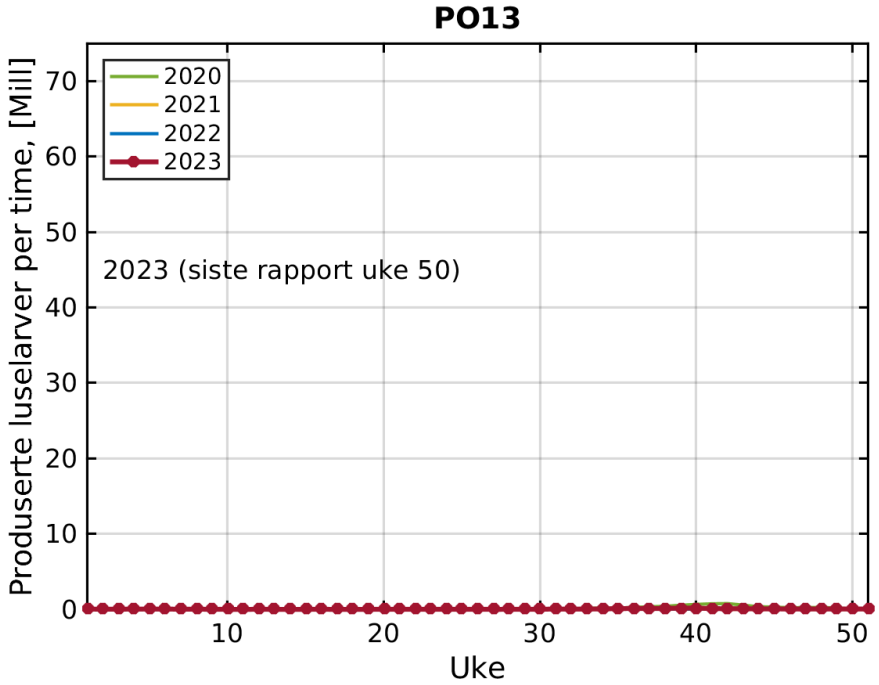

VENSTRE: Observert temperatur i 3m dyp. Sort linje viser middelverdien (2012 - 2022), og skravert felt viser pluss/minus et standardavvik.
HØYRE: Beregnet (Stien mfl 2005) utslipp av luselarver (summert over alle anlegg som rapporterer i PO13) Det er ofte noen etternølere som rapporterer en uke eller to etter fristen. Derfor kan grafene se litt annerledes ut enn i forrige uke.

Støttefigurer:
Sammen med vanntemperatur inngår antall fisk og antall voksne holus per fisk i formelen som benyttes til å estimere antall luselarver på forrige side (Stien mfl 2005)

$$N_{naup} = N_{fish} \cdot N_{female} \cdot 0.17 \cdot (T + 4.28)^2,$$

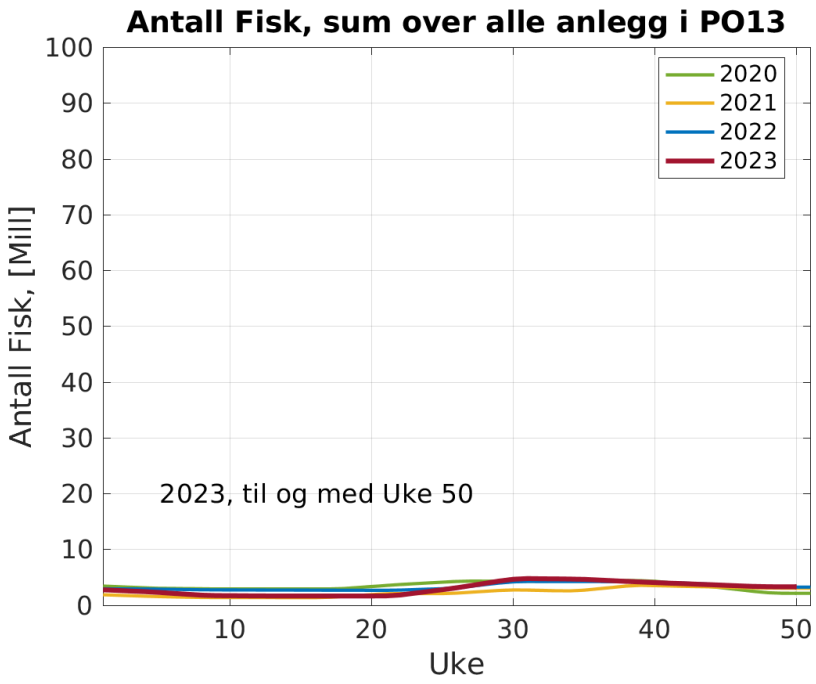

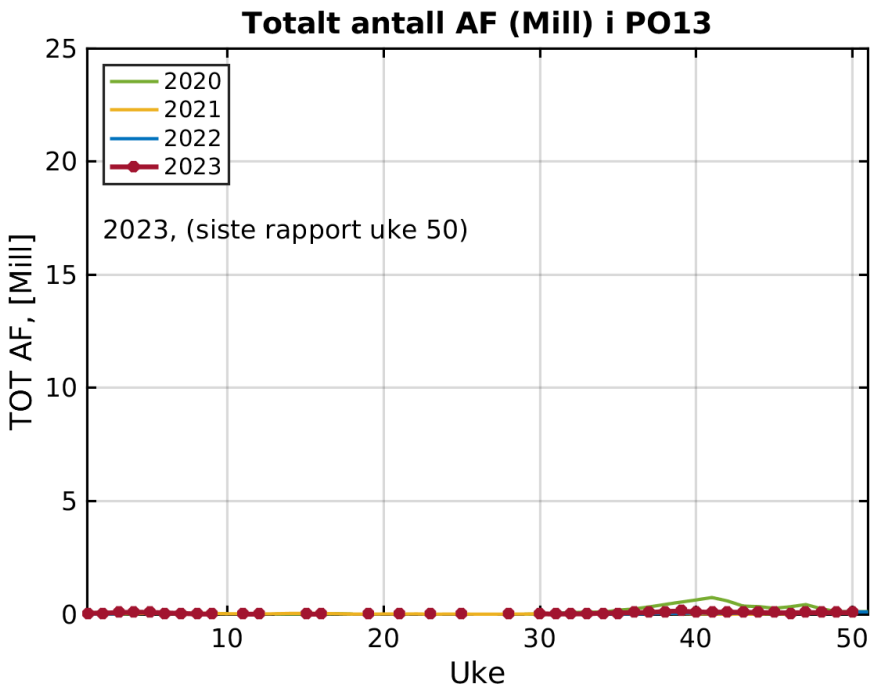

VENSTRE: Antall fisk (laks + regnbueørret) summert over alle anlegg i P013.
HØYRE: Totalt antall voksne holus i PO13(antall fisk * antall holus per fisk).

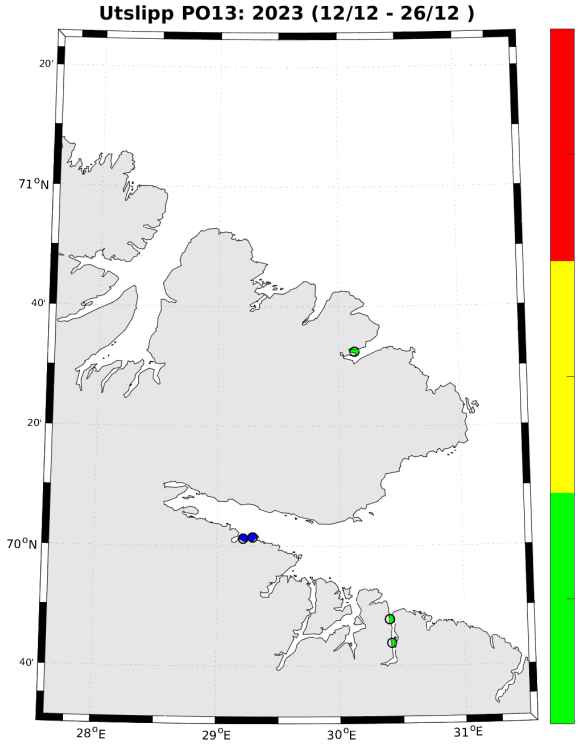

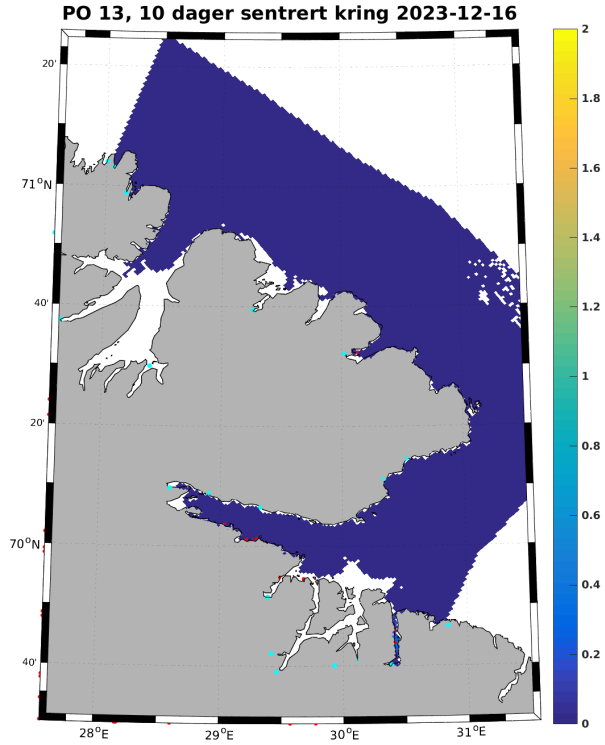

VENSTRE: Beregnet (Stien mfl 2005) utslipp av luselarver (millioner klekte egg per time) per anlegg, uke 50 → Blå anlegg har rapportert null lus. Sorte anlegg har enten ikke rapportert, eller blitt brakklagt ila 2023. Anlegg uten rapporteringer i 2023 er ikke tatt med. Fargeskalaen er relativ, og viser bare innbyrdes variasjon!
HØYRE: Tetthet av smittsomme lakseluslarver (per kvadratmeter), beregnet med Havforskningsinstituttet sin lakselusmodell.

PO13 - Modellert konnektivitet i perioden 2023-12-12 - 2023-12-22

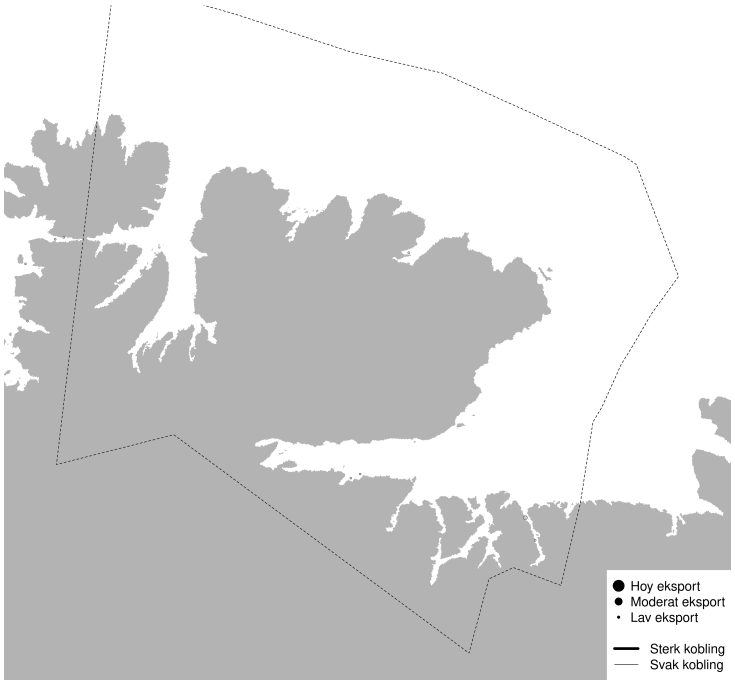

VENSTRE: Smitte av lakselus-kopepoditter mellom lokaliteter.
Fargene viser hvilke lokaliteter som blir definert til å ligge i samme smitte-nettverk (klynge) i den gjeldende perioden. Størrelsen på sirklene er rangert etter samlet eksport fra lokaliteten (store sirkler = stor eksport), basert på landsdekkende estimater for den gjeldende perioden. Tykke linjer (koblinger) viser stor transport og tynne linjer viser lavere transport. Merk at de minste koblingene er utelatt for å gjøre figuren mer lesbar. Linjer som krummer med klokken viser eksport fra en lokalitet og linjer som krummer mot klokken viser import.

Metoden for å identifisere smitte-nettverkene er beskrevet i M.B.O Huserbråten, I.A. Johnsen, Seasonal temperature regulates network connectivity of salmon louse, ICES Journal of Marine Science, 2022;, fsac024. LENKE https://doi.org/10.1093/icesjms/fsac024
Se også nyhetssak fra HI.